

## ***Industrial Management Perspective***

Print ISSN: 2251-9874, Online ISSN: 2645-4165

Volume 12, Serial Number 47, Autumn 2022, Pages 239-278 (Original Article)

DOI: [10.52547/JIMP.12.3.239](https://doi.org/10.52547/JIMP.12.3.239)

# **A Location-Inventory Model for Casualty Response Planning in Crisis Situations**

**Behnam Vahdani\***, **Fatemeh Farzaneh Kol Tappeh\*\***

### **Abstract**

When it comes to providing aid to the victims of natural and unnatural disasters, the main goal of a relief chain is to provide the items needed by the victims such as water and food, medicine, shelter and other necessities to reduce the number of deaths caused by reduce the occurrence of disasters as much as possible; therefore, designing, developing and implementing a relief chain can play an important role in finding a suitable answer. The most obvious differences in dealing with the relief supply chain are the unpredictability of demand in terms of time, place, type, scale and volume. Other reasons such chains are the sudden occurrence of a large amount of demand and a very short opportunity to provide a large amount of goods, lack of resources including goods, relief forces, appropriate technology, transportation capacity, the need to provide timely and sufficient supplies after the accident, and the risks in the relief environment. In the present research, a mathematical model for the location-inventory problem for planning response to casualties is presented; also, due to the NP-hard nature of the problem considered, meta-heuristic algorithms were used to solve it.

**Keywords:** Relief Supply chain; Location; Inventory; Meta-Heuristic Algorithm.

---

Received: Jun. 25, 2020; Accepted: Jun. 13, 2022.

\* Associate Professor, Department of Industrial Engineering, Qazvin Branch, Islamic Azad University, Qazvin, Iran (Corresponding Author).

Email: b.vahdani@gmail.com)

\*\* MSc, Department of Industrial Engineering, Qazvin Branch, Islamic Azad University, Qazvin, Iran.

## چشم‌انداز مدیریت صنعتی

شایعی چاپی: ۹۸۷۴-۲۲۵۱، شایعی الکترونیکی: ۴۱۶۵-۲۶۴۵

سال دوازدهم، شماره ۴۷، پاییز ۱۴۰۱، صص ۲۳۹-۲۷۸ (نوع مقاله: پژوهشی)

DOI: [10.52547/JIMP.12.3.239](https://doi.org/10.52547/JIMP.12.3.239)

# یک مدل مکان‌بایی - موجودی برای برنامه‌ریزی پاسخ به تلفات در شرایط بحران

بهنام وحدانی\*، فاطمه فرزانه کل‌تبه\*\*

## چکیده

در بحث امدادرسانی به مصدومان بلایای طبیعی و غیرطبیعی، هدف اصلی یک زنجیره امدادرسانی این است که اقلام موردنیاز مصدومان مانند آب و مواد غذایی، مواد دارویی، پناهگاه و سایر ملزمات در سریع‌ترین زمان ممکن در دسترس مصدومان قرار بگیرد تا از تعداد مرگ‌ومیر ناشی از وقوع بلایا تا حد امکان کاسته شود؛ بنابراین طراحی و توسعه و اجرایی کردن یک زنجیره امدادرسانی می‌تواند نقش مهم و بزرگی در دست‌یافتن به یک پاسخ مناسب ایفا کند. بازترین تفاوت‌ها در بحث برخورد با زنجیره امدادرسانی، غیرقابل‌پیش‌بینی بودن تقاضا از نظر زمان، مکان، نوع، مقیاس و حجم آن است. دلایل دیگر پیچیدگی مدیریت چنین زنجیره‌هایی وقوع ناگهانی یک تقاضا در مقدار زیاد و فرصت بسیار کوتاه برای تأمین حجم وسیعی از کالاهای کمبود منابع شامل کالاهای، نیروی امدادرسانی، فناوری مناسب، ظرفیت حمل و نقل، ضرورت تأمین به موقع و به میزان کافی ملزمات بعد از وقوع حادثه و ریسک‌های موجود در محیط امدادرسانی است. در پژوهش حاضر، یک مدل ریاضی برای مسئله مکان‌بایی - موجودی برای برنامه‌ریزی پاسخ به تلفات ارائه شده است؛ همچنین از آنجاکه مدل ریاضی ارائه شده جزو مسائل hard محسوب می‌شود، برای حل آن از الگوریتم‌های فرآابتکاری استفاده شده است.

کلیدواژه‌ها: زنجیره امدادرسانی؛ مکان‌بایی؛ موجودی؛ الگوریتم فرآابتکاری.

تاریخ دریافت مقاله: ۱۳۹۹/۰۴/۰۵، تاریخ پذیرش مقاله: ۱۴۰۱/۰۳/۲۳

\* دانشیار، دانشگاه آزاد اسلامی، واحد قزوین، گروه مهندسی صنایع، قزوین، ایران (نویسنده مسئول).

Email: b.vahdani@gmail.com

\*\* دانش‌آموخته کارشناسی ارشد، دانشگاه آزاد اسلامی، واحد قزوین، گروه مهندسی صنایع، قزوین، ایران.

## ۱. مقدمه

بحran حادثه‌ای است که به طور طبیعی یا ناگهانی پدید می‌آید و سختی و آسیبی به جامعه انسانی تحمیل می‌کند که برای پشت‌سرگذاشتن آن به اقدامات اساسی نیاز است. امروزه آسیب‌های جوامع مدرن برای طبیعت و فجایع دست‌ساخت بشر یک مشکل جدی است [۲۱]. علاوه بر سیل و زلزله، حوادث دیگری همچون رویدادهای رادیولوژیکی نیز موجب مرگ و میرهای انسان‌های زیادی در سراسر جهان می‌شود که در اثر این حادثه انتشار مواد رادیواکتیو به پیامدهای مختلفی برای مردم و محیط‌زیست و امکانات منجر می‌شود. از حوادث رادیولوژیکی می‌توان به فاجعی هسته‌ای فوکوشیما، انواع جنگ‌ها و رویدادهای مربوط به انفجارهای کوچک در صورت وجود هرگونه انفجار هسته‌ای اشاره کرد [۱۳]. در چنین حوادث رادیولوژیکی هدف، اولویت‌بندی تلفات و خسارات بر اساس رده‌بندی درمانی و تخصیص مراکز درمانی برای امدادرسانی سریع است تا افراد کمی جان خود را از دست بدهنند [۹]. بحث امدادرسانی سریع و به موقع به حادثه دیدگان این وقایع، مسئله بزرگی است که در حال حاضر بسیاری از پژوهشگران و دانشمندان در حال تحقیق درباره آن هستند. تعداد بلایا و همچنین تعداد انسان‌هایی که در اثر وقوع این بلایا تحت تأثیر قرار گرفته‌اند، در سال‌های اخیر افزایش یافته است [۴۱-۴۲]. این افزایش در تعداد بلایای طبیعی و تبعات آن‌ها در جان و مال و زندگی افراد، توجه بسیاری را سال‌های اخیر به سمت خود جلب کرده است. در بحث امدادرسانی به مصدومان یک حادثه، هدف مهم در یک زنجیره امدادرسانی این است که اقلام موردنیاز حادثه دیدگان، مانند آب و مواد غذایی، مواد دارویی، پناهگاه و سایر ملزمومات، در سریع‌ترین زمان در دسترس مصدومان قرار بگیرد تا تعداد مرگ و میر ناشی از شدت وقوع حوادث تا حد امکان کاهش یابد؛ بنابراین توسعه و طراحی و اجرایی کردن یک زنجیره امدادرسانی می‌تواند نقش مهمی در رسیدن به یک پاسخ مناسب ایفا کند. شاخص‌ترین تفاوت‌ها که پیچیدگی و انحصار روش برخورد با زنجیره امدادرسانی را به دنبال دارد، غیرقابل پیش‌بینی بودن تقاضا از نظر زمان، مکان، نوع، مقیاس و حجم آن است. از دلایل دیگر پیچیدگی مدیریت چنین زنجیره‌هایی وقوع ناگهانی یک تقاضا در مقدار زیاد و زمان کوتاه برای تأمین حجم وسیعی از کالاهای، کمیوں منابع شامل کالاهای، ظرفیت حمل و نقل، نیروی امدادرسانی، فناوری مناسب، سرمایه موردنیاز شرایط محیطی کاملاً متغیر و دینامیک، ضرورت تأمین به موقع و به میزان کافی ملزمومات پس از وقوع بلایا و ریسک‌های موجود در محیط امدادرسانی است. از آنجاکه مکان و تعداد مرکزهای عرضه کالاهای و همچنین تعداد کالاهایی که در هر یک از این مرکزها نگهداری می‌شود، به صورت مستقیم بر زمان امدادرسانی و هزینه‌های مرتبط با آن اثر می‌گذارد، بحث جایابی انبار و بررسی اقلام موجود در آن نقش بسیار مهمی در عملکرد یک زنجیره ایفا می‌کند. بعد از وقوع حوادث، مسائل مربوط به مکان‌یابی تسهیلات مربوط به تدارکات انسانی اضطراری بر انواع مشکلات قبل و بعد از فاجعه و

با توجه به محل تسهیلات مانند محل مراکز توزیع، انبارها، پناهگاه‌ها و مراکز پزشکی مطرح می‌شود [۸]. اگرچه پژوهش‌های زیادی در زمینه‌های مربوط به مسائل مکان‌یابی این‌گونه زنجیره‌ها انجام پذیرفته است، اما در زمینه‌های نظری و برنامه‌های کاربردی توجه زیادی به زنجیره‌های امدادرسانی بلایای طبیعی و غیرطبیعی نمی‌شود؛ بنابراین موضوع مکان‌یابی انبارها و تصمیمات مربوط به نگهداری کالا در آن‌ها برای مقابله با تقاضاهای ناگهانی هنگام وقوع یک حادثه مطرح می‌شود که مسئله طراحی شبکه امدادرسانی در یک زنجیره‌ی امدادرسان در قدم اول بررسی شده و با یک رویکرد تحلیلی تصمیم‌گیری در مورد مکان‌یابی مراکز عرضه و کالاهای موجود در این مراکز بررسی می‌شود [۶]. در این میان یکی از مهم‌ترین تصمیمات استراتژیکی که در طراحی شبکه‌های امداد در نظر گرفته می‌شود، مربوط به مکان‌یابی مراکز درمان است. مکان‌هایی که برای احداث مراکز درمانی در نظر گرفته می‌شوند باید پیش‌نیازهای بسیاری از جمله دسترسی‌پذیری فیزیکی، اقتصادی و غیره را دارا باشد. یکی دیگر از مهم‌ترین تصمیمات استراتژیک در شبکه‌های امداد مربوط به مسیریابی است. این تصمیم برای آن است تا بتواند تجهیزات موردنیاز را به افراد حادثه‌دیده برساند و آن‌ها را به مراکز درمانی و بیمارستان‌ها منتقل کند. با توجه به موارد مورداشاره تاکنون پژوهشی برای درنظرگرفتن دو مسئله مکان‌یابی - موجودی بهمنظور برنامه‌ریزی پاسخ به تلفات ارائه نشده است؛ از این‌رو در این پژوهش یک مدل ریاضی برای مسئله موردنظر ارائه می‌شود. از آنجاکه این مسئله جزو مسائل Np-hard است، برای حل آن الگوریتم‌های فرالبتکاری تطبیق داده می‌شوند. این مقاله به صورت زیر سازمان‌دهی شده است. در بخش دوم، مبانی نظری پژوهش بررسی می‌شود. در بخش سوم، مدل ریاضی توسعه داده خواهد شد. در بخش چهارم، روش‌های حل مبتنی بر الگوریتم‌های فرالبتکاری به کار می‌رود و نتایج مدیریتی ارائه می‌شود. درنهایت بخش پنجم به نتیجه‌گیری و پیشنهادهایی برای پژوهش‌های آینده اختصاص دارد.

## ۲. مبانی نظری و پیشینه پژوهش

بروتنه<sup>۱</sup> و همکاران (۲۰۰۳)، خاطرنشان کردند که به‌طورکلی بهمنظور نیل به اهداف مدیریت بحران، لجستیک حوزه‌ای محسوب می‌شود که ممکن است بهبود زیادی ایجاد کند و یکی از راهبردهای لجستیکی بهمنظور حرکت بهسوی پاسخگویی سریع‌تر و بهتر، مکان‌یابی از پیش انبارهای موجودی است. در این قسمت، مکان‌یابی از بعد جغرافیایی با توجه به عواملی مانند هزینه، عدالت و زمان پاسخ مدنظر است [۷]. بالکیک و بیمن<sup>۲</sup> (۲۰۰۸)، با مطالعه مسئله مکان‌یابی، یک مدل برنامه‌ریزی ریاضی برای تعیین تعداد و موقعیت مراکز توزیع و همچنین

<sup>۱</sup>. Bronte

<sup>۲</sup>. Balcik and Beamon

میزان کالاهای ازقبل تعبیه شده در هر یک از این مراکز توزیع ارائه دادند. مدل ارائه شده، گونه‌ای از مدل حداکثر پوشش است که مسئله مکان‌یابی را با مسئله موجودی یکپارچه می‌کند. از ویژگی‌های مدل آن‌ها می‌توان به چند کالایی بودن، استفاده از محدودیت‌های بودجه و محدودیت ظرفیت اشاره کرد. در واقع این پژوهش از نخستین پژوهش‌هایی است که به بحث مکان‌یابی مراکز توزیع برای پاسخگویی مناسب در زمان بحران می‌پردازد. برای توسعه پارامترهای مدل در این پژوهش از داده‌های بحران بین سال‌های ۱۹۰۰ تا ۲۰۰۶ که «مرکز داده مؤسسه ملی ژئوفیزیک» فراهم کرده است، استفاده می‌شود. نتایج تأثیر سرمایه‌گذاری بر موضوع امدادرسانی را قبل و بعد از وقوع بحران بر عملکرد نظام امدادرسانی نشان می‌دهد [۴]. بالکیک<sup>۱</sup> و همکاران (۲۰۰۸)، یک مدل تک‌هدفه را توسعه دادند که تعداد و مکان مراکز توزیع را در شبکه امدادرسانی و مقدار کالایی که باید در هر مرکز ذخیره شود، مشخص می‌کند. مدل آن‌ها چند کالایی است و محدودیت بودجه نیز در آن در نظر گرفته می‌شود [۵]. املی<sup>۲</sup> و همکاران (۲۰۰۹)، یک مدل زنجیره تأمین تصادفی یکپارچه با تقاضا و مدت‌زمان تحويل نامعلوم فرمول‌بندی کردند [۱۸]. کاوننهی<sup>۳</sup> و همکاران (۲۰۱۲)، دسته دیگری از مدل‌های مکان‌یابی، پیش موقعیت موجودی و توزیع اقلام امدادی را به صورت ترکیبی در مدل خود در نظرمی‌گیرند که اغلب با هدف کاهش هزینه است. این مدل‌ها با درنظرگرفتن جنبه‌هایی مانند تعیین ساختار سازمانی اولویت‌بندی شده، محدودیت‌های بودجه‌ای و هزینه تقاضای ارضانشده توائستند نوآوری‌هایی ایجاد کنند [۱۰]. تانسرز<sup>۴</sup> و همکاران (۲۰۱۲)، یک مسئله مکان‌یابی - موجودی در یک زنجیره تأمین سه سطحی را بررسی کردند [۱۱]. رائلز و ترنکوئیست<sup>۵</sup> (۲۰۱۲)، با توجه به عدم قطعیت موجود در مورد زمان و مکان بروز حوادث طبیعی، مدل تصادفی دو مرحله‌ای عدد صحیح مختلط را برای مکان‌یابی انبارها و همچنین تعیین میزان پیش موقعیت هریک از انواع کالا در هر انبار و تعیین جریان در شبکه بعد از وقوع بلایا، تحت ستاریوهای احتمالی ارائه دادند. متغیرهای تصمیمی مرحله نخست شامل مکان تسهیلات انبارش، اندازه آن‌ها و همچنین تصمیمات ذخیره‌سازی مقادیر انواع مختلف کالا و تصمیمات مرحله دوم شامل توزیع کالاهای دردسترس، در فاز پاسخ، با توجه به شرایط هر ستاریو است. به علت پیچیدگی محاسباتی مسئله از الگوریتم ابتکاری لاگرانژ ال‌شکل برای حل مسائل با اندازه بزرگ استفاده می‌شود [۱۹]. بزرگی امیری و فتاحی (۲۰۱۵)، یک مدل جدید چند‌هدفه‌ی فازی برای طراحی شبکه لجستیک امداد بلایا تحت شرایط عدم قطعیت فازی ارائه کردند. در این مدل علاوه بر نقاط تأمین، مراکز توزیع امداد و نقاط آسیب،

<sup>۱</sup>. Balcik<sup>۲</sup>. Emli<sup>۳</sup>. Caunhye<sup>۴</sup>. Tanserz<sup>۵</sup>. Rawls and Turnquist

بحث تخلیه افراد آسیب‌دیده از منطقه خطر و ارسال به مراکز درمانی موقعت و نوع وسائل حمل و نقل نیز اضافه شده است [۲]. لوره و آروس ورا<sup>۱</sup> (۲۰۱۸)، یک مدل ریاضی برای تعیین موقعیت نقاط توزیع و تخصیص موجودی در تدارکات انسانی پس از فاجعه ارائه کردند. این مدل باعث کاهش هزینه‌های تسهیل، تدارکات و هزینه‌های محرومیت (برای مثال هزینه‌های ناشی از عدم دسترسی به منابع حیاتی برای بازماندگان) می‌شود و اجازه می‌دهد تا گرههای تقاضا از چندین خدمت‌کننده خدمت بگیرند. این در شرایطی معنادار است که ممکن است موجودی را برای خدمت به تمام نقاط تقاضا که آن در اختیار نداشته باشد. در این پژوهش، اهمیت توجه به مؤلفه زمانی سیستم و هزینه‌های اجتماعی ناشی از آن در محل تأسیس مشخص شد [۱۶]. به نظر لیو و همکاران<sup>۲</sup> (۲۰۱۹)، برنامه‌ریزی برای محل تأسیس خدمات پزشکی موقعت و توزیع تلفات به این مراکز مستلزم درنظر گرفتن تربیاز مصدومان، شرایط و خیم سلامتی و توزیع عادلانه منابع محدود پزشکی است. در این پژوهش با بهداشت‌رساندن تعداد بازماندگان موردنظر و به حداقل رساندن کل هزینه عملیاتی در راه استفاده از آمولانس و بالگرد، یک مدل بهینه‌سازی دو-هدفه برای تعیین مکان بهینه خدمات موقعیتی پزشکی و برنامه تخصیص خدمات پزشکی ایجاد می‌شود. بر این اساس، آن‌ها یک روش تکرار را برای بهدست‌آوردن جبهه پارتو از مدل بهینه‌سازی دوهدفه پیشنهاد کردند. درنهایت تجزیه و تحلیل حساسیت برای ارائه بینش مفید مدیریتی انجام شد [۱۶]. علیزاده و همکاران (۲۰۱۹)، یک مسئله موقعیت به عنوان یک مدل بهینه‌سازی تصادفی استوار دو مرحله‌ای در یک محیط نامشخص را فرموله کردند. در این رویکرد مدل‌سازی، تصمیمات طراحی شبکه با تصمیمات عملیاتی پاسخ چند دوره‌ای تلفیق شد که در آن تعداد تلفات با سطوح مختلف صدمات ناشی از مناطق آسیب‌دیده نامشخص است؛ همچنین ظرفیت حمل و نقل برای تخلیه تلفات به بیمارستان‌ها نیز نامشخص است. برای حل این مسئله پیچیده، یک روش تقریب متوسط (تقریب با تکنیک بازیابی امکان سنجی) پیشنهاد شده و کارایی آن از طریق یک روش اعتبارسنجی آماری بررسی شده است. آن‌ها سپس روش پیشنهادی را در پس‌زمینه یک مورد فرضی از فاجعه گاز بوپال (با همان مشخصات انتشار خطر) در حال حاضر ارزیابی کردند [۳]. مهری و همکاران (۲۰۲۰)، مسئله مکان‌یابی آمولانس در زمینه پوشش تصادفات جاده‌ای، که اغلب ماهیتی نادر و تصادفی دارد را بررسی کردند. بر این اساس، این پژوهش یک مسئله مکان‌یابی حداقل پوشش لبه با پوشش جزئی امکانات در لبه‌ها را پیشنهاد می‌کند؛ به علاوه تصادفی بودن ویژگی مرتبط با فرکانس و شدت خرابی است. برای کاهش خطاهای ناشی از ویژگی غیرقطعی تصادفات، یک روش تجربی بیز در فرکانس مشاهده شده تصادفات اعمال شد؛ درنتیجه روش پیشنهادی برای یک مطالعه موردی واقعی به کار رفت و

<sup>۱</sup>. Loree & Aros-Vera<sup>۲</sup>. Liu

نتایج مدیریتی مهمی به دست آمد [۱۷]. به نظر زاهدی و همکاران (۲۰۲۰)، شرایط اضطراری معمولاً به عنوان شرایطی شناخته می‌شوند که باید در کمترین زمان ممکن به آن‌ها رسیدگی شود. آمادگی برای غلبه بر شرایط اضطراری در مکان‌هایی که اقدامات لازم پیش‌بینی شده است، به پاسخ سریع‌تر منجر می‌شود و تلفات وارد و همچنین هزینه‌ها را کاهش می‌دهد. در موقع اضطراری مناطق دوردست ممکن است تحت تأثیر منابع محدودی قرار بگیرند؛ ازین‌رو سوال اصلی این است که چگونه منابع موجود باید در مناطق آسیب‌دیده توزیع شود. پاسخ به این سوال می‌تواند در شرایط بحرانی مفید باشد. در این پژوهش، یک تحقیق تجربی به منظور توسعه یک مدل زمان‌بندی مناسب برای منابع و وسائل نقلیه برای تأمین نیازهای مناطق حادثه‌ای که خواسته‌های آن‌ها پویا در نظر گرفته شده است، توسعه داده شد. در این پژوهش تلاش شده است تا یک استراتژی اجرایی برای برنامه‌ریزی منابع در شرایط اضطراری تدوین شود. این مدل یکپارچه از جمله درنظرگرفتن ناهمگنی و پویایی خواسته‌ها، برنامه‌ریزی توزیع کالا و مسیریابی وسائل نقلیه به طور همزمان و یک مدل چنددهده را بر اساس اقدامات کلی لازم در موارد اضطراری پوشش می‌دهد. با توجه به این واقعیت که این مدل چنددهده بود، برای حل مدل چند تابع هدفه، روش عمده‌دیت تکامل‌یافته به کار رفت؛ همچنین با استفاده از الگوریتم ژنتیک با زمان حل قابل قبول، توانایی استفاده از مدل در شرایط واقعی تأیید شد. درنهایت داده‌های حاصل از زلزله در سال ۱۳۹۶ کرمانشاه در ایران برای بررسی صحت و اعتبار مدل برای وضعیت دنیای واقعی مورد استفاده قرار گرفت. نتایج با اطلاعات واقعی مقایسه شد. این نتایج توسط کارشناسان «هلال احمر ایران» قابل قبول ارزیابی شد و نتایج مدیریتی قابل تأملی به دست آمد [۲۲]. لیو و همکاران<sup>۱</sup> (۲۰۲۰) در پژوهشی، یک چارچوب ارزیابی دو مرحله‌ای مؤثر با یکپارچه‌سازی روش تصمیم‌گیری چندمعیاره فازی<sup>۲</sup> ارائه کردند. آن‌ها یک مدل بهینه‌سازی چنددهده برای به دست آوردن طرح بهینه تخصیص محل اضطراری<sup>۳</sup> برای مقابله با سیلاب توسعه دادند. بر این اساس، بهینه‌سازی با استفاده از یک مدل بهینه‌سازی چنددهده برای تخصیص مواد اضطراری برای همه منابع ریسک به روی مؤثر در زمان مشخص شد؛ سپس چارچوب ارزیابی و انتخاب دو مرحله‌ای در استان جیانگ سو چین اعمال شد. طرح بهینه‌سازی درنهایت، بهترین انبار مواد اضطراری را برای استان جیانگ سو انتخاب کرد. نتایج نشان داد که چارچوب توسعه‌یافته می‌تواند طرح بهینه‌سازی را با هدف حداقل نفاط نجات اضطراری و حداقل توانایی‌های نجات یکپارچه به دست آورد و تمام مواد خطرنگ منابع اضطراری را در یک پاسخ سریع برای نشت مواد شیمیایی رودخانه در مرحله قبل از حادثه فراهم کند [۱۵]. نجفی و قربانی (۲۰۲۰)، از یک مدل

<sup>۱</sup>. Liu<sup>۲</sup>. MCDM<sup>۳</sup>. EMLA

برنامه‌ریزی ترکیبی عدد صحیح غیرخطی برای مکان‌یابی انبارهای متقطع، مسیریابی و زمان‌بندی وسایل نقلیه به طور همزمان در یک زنجیره تأمین سه‌سطحی با امکان برداشت و تحويل گستته با هدف کمینه‌سازی مجموع هزینه‌ها (هزینه احداث انبارهای متقطع، هزینه‌های ثابت و متغیر حمل و نقل و جریمه تأخیر و تعجیل) استفاده کردند [۱]. تاجانی و همکاران (۲۰۲۱)، یک مدل زنجیره تأمین خون به صورت برنامه‌ریزی غیرخطی مختلط شامل مراحل جمع‌آوری، فرآوری و توزیع خون و محصولات خونی با درنظرگرفتن طول عمر و سن تقاضا، طراحی کردند که به دنبال کاهش هزینه‌های متحمل بر زنجیره تأمین و نیز کاهش کمبود محصولات خونی بود [۲۰]. فوکردی و طلاوری (۲۰۲۱)، از یک مدل برنامه‌ریزی خطی صفویک دوهدفه برای جریان در زنجیره تأمین دارو و از منظر یک شرکت پخش بهینه استفاده کردند. در این زنجیره، شرکت پخش داروهای دریافتی از تأمین‌کنندگان بالا دست را به خردۀ فروشی‌های پایین دست می‌فروشد و با پول دریافتی از آن‌ها صورت حساب‌های تأمین‌کنندگان را تسویه می‌کند؛ درنهایت مدل توسط الگوریتم ژنتیک ضمن تعیین بهترین توالی پرداخت صورت حساب‌ها، جریان مالی خروجی و ریسک ناشی از نقض موعد پرداخت صورت حساب‌ها را کمینه می‌کند [۱۲]. هدف پژوهش حاضر، توسعه یک مدل ریاضی برای مسئله مکان‌یابی - وجودی برای برنامه‌ریزی پاسخ به تلفات و حل آن با استفاده از الگوریتم‌های فرابتکاری ژنتیک و رقابت استعماری است. در ادامه نوآوری‌هایی که این پژوهش را نسبت به پژوهش‌های دیگر متمایز و برجسته می‌کند و می‌تواند مبانی نظری این حوزه را غنی‌تر کند، ارائه شده است:

- با توجه به موارد اشاره شده در بالا پژوهشی برای درنظرگرفتن دو مسئله مکان‌یابی - موجودی به‌منظور برنامه‌ریزی پاسخ به تلفات مشاهده نشد؛ از این‌رو در این پژوهش یک مدل ریاضی برای مسئله مکان‌یابی - موجودی برای برنامه‌ریزی پاسخ به تلفات ارائه می‌شود؛
- از آنجاکه مسئله مکان‌یابی - موجودی جزو مسائل Np-hard است، برای حل مسئله مکان‌یابی - موجودی برای برنامه‌ریزی پاسخ به تلفات دو الگوریتم فرابتکاری ژنتیک و رقابت استعماری تطبیق داده می‌شوند.

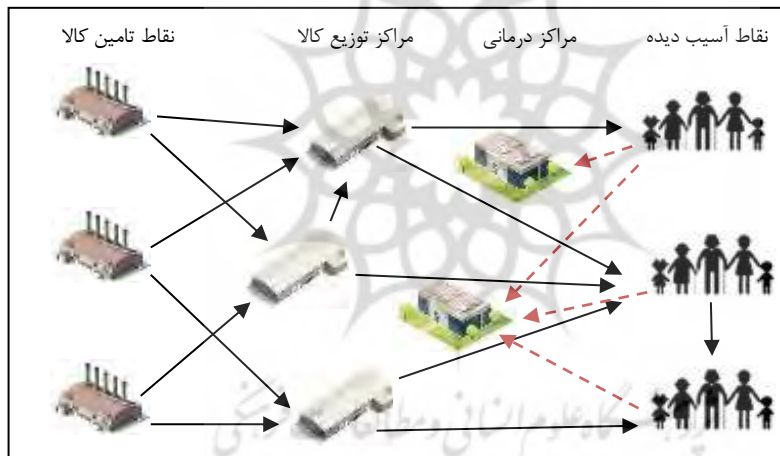
### ۳. روشناسی پژوهش

بیان مسئله و مدل ریاضی. در این پژوهش به کاربرد لجستیک<sup>۱</sup> در بحران‌های ناشی از حوادث طبیعی<sup>۲</sup> و غیرطبیعی پرداخته می‌شود. لزوم اتخاذ سریع تصمیم‌ها و اجرای عملیات، دانشی با عنوان «مدیریت بحران» را به وجود آورده است. برای تصمیم‌گیری سریع و به‌موقع، نیاز است تا الزاماتِ دقت، سرعت و اثربخش بودن اقدامات قبل از وقوع بررسی شود؛ از این‌رو نیاز است تا

۱. Logistics

۲. Natural Accident

اقدامات موردنیاز به صورت آزمایشگاهی بررسی و برترین راهکارها گزینش شود. بدین منظور نیاز است تا مجموعه اقدامات قبلی سنجیده و اقدامات جدیدی طرح ریزی و اجرا شود. در این پژوهش یک مدل سازی ریاضی برای تصمیمات بهینه موردنظر تصمیم‌گیرندگان این حوزه ارزیابی و ارائه خواهد شد. به طور کلی برنامه‌ریزی لجستیکی در پاسخگویی به بحران‌های طبیعی و غیرطبیعی دارای دو هدف کلی است: نخستین هدف، حمل مصدومان از مناطق آسیب‌دیده به بیمارستان‌ها و مراکز درمانی و دومین هدف، توزیع کالاهای امدادی مانند آب، غذا و چادرهای اسکان به مناطق کمتر حادثه‌دیده که از انبارهای ازیش‌تعیین‌شده و تأمین‌کنندگان به مناطق آسیب‌دیده است. این اقدامات با محدودیت‌های ظرفیت بیمارستان‌ها و مراکز درمانی، ظرفیت انبارها، تعداد کالاهای موجود در آن، منابع، تقاضا، دردسترس‌بودن مسیرهای توزیع و غیره مواجه هستند و بنابراین باید یک برنامه‌ریزی موثر برای رسیدن به این اهداف صورت پذیرد. علاوه بر پیچیدگی فعالیت‌های لجستیکی، در طول دوره برنامه ریزی برای پاسخ به بحران‌های پسافاجعه (بیماران مناطق، سیل، زلزله و غیره)، با نحوه پاسخ به تقاضای تأمین‌کنندگان و بیمارستان‌ها مواجهیم؛ بنابراین در این پژوهش یک مدل تک‌هدفه با درنظرگرفتن کاهش هزینه‌ها توسعه داده شده است. شکل ۱، نمای کلی مسئله را نشان می‌دهد.



شکل ۱. نمای کلی مسئله

پرستال جامع علوم انسانی

## مفروضات مدل ریاضی

۱. نقاط آسیب دیده، بیمارستان‌ها و نقاط تأمین و فواصل بین آن‌ها معلوم است؛
۲. نقاط کاندید مرکز درمانی و توزیع مشخص و فواصل بین تمام نقاط نیز معلوم است؛
۳. چند نوع کالا با درجه اهمیت متفاوت وجود دارد و هر کالا هزینه متفاوت تهیه، نگهداری و حمل دارد. نوع کالاهای و درجه اهمیت آنها با توجه به شدت و بزرگی بحران و مشخصات نقاط آسیب دیده توسط کارشناسان تعیین می‌شود؛
۴. چند نوع مصدومیت با درجه اهمیت متفاوت وجود دارد. نوع مصدومیت‌ها و درجه اهمیت آنها توسط کارشناسان و با درنظرگیری عواملی نظیر شدت و بزرگی بحران تعیین می‌شود؛
۵. مقدار مورد نیاز هر کدام از کالاهای مشخص است؛
۶. ظرفیت بیمارستان‌ها و مرکز درمانی موجود برای پذیرش انواع مختلف مصدومان و ظرفیت مرکز تأمین و توزیع مشخص است؛
۷. سطح تقاضا برای نقاط آسیب دیده و پارامترهای هزینه و تعداد مصدومان نقاط آسیب دیده قطعی هستند؛
۸. هر مرکز توزیع ممکن است توسط تأمین‌کنندگان و یا مرکز توزیع دیگر (بوشش پشتیبان) تأمین شود؛
۹. ذخیره موجودی در مرکز بحران جریمه دارد که با عنوان «هزینه نگهداری» در نظر گرفته می‌شود؛
۱۰. برای احداث مرکز درمانی و مرکز توزیع و همچنین حمل و نقل کالاهای و مصدومان در قبل و بعد از وقوع بحران، محدودیت بودجه‌ای وجود دارد.

### اندیس‌ها

I: اندیس گره تأمین‌کننده

J: مجموعه گره‌های کاندید تأسیس مرکز توزیع

K: مجموعه گره‌های نقاط آسیب دیده حاصل از بحران

M: مجموعه گره‌های کاندید تأسیس مرکز درمانی

N: مجموعه گره‌های بیمارستان‌ها برای درمان‌های جدی

L: اندیس وسیله نقلیه

C: اندیس کالاهای امدادی

D: اندیس نوع مصدومیت

۱D: اندیس مصدومیت نوع ۱

۲D: اندیس مصدومیت نوع ۲

### پارامترهای مدل

$z_f$ : هزینه ثابت تأسیس مرکز توزیع در گره  $z_{\text{am}}$

$V_m$ : هزینه ثابت تأسیس مرکز درمانی در گره  $z_{\text{am}}$

$FV_L$ : هزینه ثابت بکار گیری وسیله نقلیه  $\| \text{am}$

$\Phi_{ic}$ : هزینه خرید هر واحد کالای  $c$  از گره تأمین کننده  $\| \text{am}$

$\delta_{lijc}$ : هزینه حمل هر واحد کالای  $c$  از گره تأمین کننده  $\| \text{am}$  به گره توزیع کننده  $z_{\text{am}}$

$\delta'_{lijrc}$ : هزینه حمل هر واحد کالای  $c$  از گره توزیع کننده  $z_{\text{am}}$  به گره توزیع کننده  $z'_{\text{am}}$

$CC_{ljkC}$ : هزینه حمل هر واحد کالای  $c$  از گره توزیع کننده  $z_{\text{am}}$  به گره آسیب دیده  $\| k$

$CCC_{ljk\| kC}$ : هزینه حمل هر واحد کالای  $c$  از گره آسیب دیده  $\| k$  به گره آسیب دیده  $\| k'$

$U_{knd}$ : هزینه حمل یک مصدوم نوع  $d$  از گره آسیب دیده  $\| k$  به بیمارستان  $\| n$

$Z_{kmd}$ : هزینه حمل یک مصدوم نوع  $d$  از گره آسیب دیده  $\| k$  به مرکز درمانی  $\| m$

$h_{kc}$ : هزینه نگهداری موجودی هر واحد کالای  $c$  در گره آسیب دیده  $\| k$

$\eta_{kc}$ : هزینه کسری موجودی هر واحد کالای  $c$  در گره آسیب دیده  $\| k$

$B$ : بودجه قبل از بحران

$B_1$ : بودجه پس از بحران

$\alpha_d$ : هزینه عدم رسیدگی به مصدوم نوع  $d$  ام

$dem_{kc}$ : مقدار تقاضا برای کالای  $c$  در گره آسیب دیده  $\| k$

$capp_{ic}$ : مقدار کالای  $c$  که از گره تأمین کننده  $\| am$  می‌توان تأمین کرد.

$O_{kd}$ : تعداد مصدومان  $d$  در گره آسیب دیده  $\| k$

$ca_{nd}$ : تعداد مصدومان  $d$  که در بیمارستان  $\| n$  می‌توانند درمان شوند

$se_{md}$ : تعداد مصدومان  $d$  که در مرکز درمانی  $\| m$  می‌توانند، درمان شوند

$ccap_j$ : ظرفیت مرکز توزیع  $j$  ام که تأسیس می‌شود

$\beta_{kd}$ : درصد مصدومان  $d$  از نوع خفیف در مرکز آسیب دیده  $\| k$

$MM$ : عدد بزرگ

### متغیر تصمیمی

$Q_{lijc}$ : مقدار کالای  $c$  تأمین شده از گره تأمین کننده  $\| am$  و ذخیره شده در گره توزیع کننده  $z_{\text{am}}$  با

وسیله نقلیه  $\| am$

$Q'_{lijrc}$ : مقدار کالای  $c$  ارسال شده از توزیع کننده  $z_{\text{am}}$  به  $j$  با وسیله نقلیه  $\| am$

$Y_{ljkC}$ : مقدار کالای  $c$  حمل شده از توزیع کننده  $z_{\text{am}}$  به مرکز آسیب دیده  $\| k$  با وسیله نقلیه  $\| am$

- $Y_{ljk/kc}$ : مقدار کالای  $c$  حمل شده از مرکز آسیب دیده  $k$  به مرکز آسیب دیده  $k'$  با وسیله نقلیه ۱
- $X_{kc}$ : مقدار کالای  $c$  ذخیره شده در مرکز آسیب دیده  $k$
- $AA_{lkmd}$ : تعداد مصدومان  $d$  جابه جا شده از مرکز آسیب دیده  $k$  به مرکز درمانی  $m$  با وسیله نقلیه ۱
- $A_{lknd}$ : تعداد مصدومان  $d$  جابه جا شده از مرکز آسیب دیده  $k$  به بیمارستان  $n$  با وسیله نقلیه ۱
- $b_{kc}$ : مقدار کمبود کالای نوع  $c$  در مرکز آسیب دیده  $k$
- $e_{kd}$ : تعداد مصدومان رسیدگی نشده در مرکز آسیب دیده  $k$  از نوع  $d$
- $ZZ_j$ : اگر مرکز توزیع در  $j$  تأسیس شود، مقدار ۱؛ در غیر این صورت صفر
- $H_m$ : اگر مرکز درمانی در  $m$  تأسیس شود، مقدار ۱؛ در غیر این صورت صفر
- $X_{lijj}$ : اگر وسیله نقلیه ۱ از تأمین کننده  $j$  به مرکز توزیع زبرود، مقدار ۱؛ در غیر این صورت صفر
- $X_{lijj'}$ : اگر وسیله نقلیه ۱ از توزیع کننده  $j'$  به مرکز توزیع  $j$  زبرود، مقدار ۱؛ در غیر این صورت صفر
- $X_{ljk'}$ : اگر وسیله نقلیه ۱ از توزیع کننده  $j$  به مرکز آسیب دیده  $k'$  برود، مقدار ۱؛ در غیر این صورت صفر
- $X_{ljkk'}$ : اگر وسیله نقلیه ۱ از مرکز آسیب دیده  $k$  به مرکز آسیب دیده  $k'$  برود، مقدار ۱؛ در غیر این صورت صفر
- $X_{lkm}^{\hat{1}}$ : اگر وسیله نقلیه ۱ از مرکز آسیب دیده  $k$  به مرکز درمانی  $m$  برود، مقدار ۱؛ در غیر این صورت صفر
- $X_{lkn}^{\hat{2}}$ : اگر وسیله نقلیه ۱ از مرکز آسیب دیده  $k$  به بیمارستان  $n$  برود مقدار ۱ در غیر این صورت صفر.

**مدل ریاضی.** کمینه سازی هزینه های مربوط به هزینه های تأسیس مراکز توزیع، هزینه های تأسیس مراکز درمانی، هزینه ثابت به کارگیری وسیله نقلیه برای حمل، هزینه خرید کالا، هزینه حمل از تأمین کنندگان به مراکز توزیع، هزینه حمل بین مراکز توزیع، هزینه حمل از مراکز توزیع به مناطق آسیب دیده، هزینه حمل میان مراکز آسیب دیده، هزینه حمل مصدومان به بیمارستان، هزینه حمل مصدومان به مراکز درمانی، هزینه نگهداری موجودی در مناطق آسیب دیده، هزینه کمبود در مناطق آسیب دیده و هزینه عدم رسیدگی به مصدومان است.

## تابع هدف

(۱)

$$\begin{aligned}
 MIN ZC = & \sum_j f_j * ZZ_j \\
 & + \sum_m V_m * H_m \\
 & + \sum_i \sum_j \sum_k \sum_l \sum_m \sum_n FV_l * (X'_{lij} + X^r_{ljk} + X^\delta_{lkm} + X^\circ_{lnk}) \\
 & + \sum_i \sum_j \sum_c \sum_l \sum_{j' \neq j} \Phi_{ic} * (Q_{lijc} + Q_{lijj'c}) \\
 & + \sum_i \sum_j \sum_c \sum_l \delta_{lijc} * Q_{lijc} \\
 & + \sum_i \sum_j \sum_c \sum_l \delta'_{lijj'c} * Q_{lijj'c} \\
 & + \sum_c \sum_j \sum_k \sum_l cC_{Ljkc} * Y_{ljk} \\
 & + \sum_c \sum_j \sum_k \sum_l \sum_{K' \neq K} CCC_{ljkK'c} * Y^1_{ljk'Kc} \\
 & + \sum_k \sum_n \sum_d \sum_l U_{knd} * A_{lknd} \\
 & + \sum_k \sum_m \sum_d \sum_l z_{kmd} * AA_{lkm} \\
 & + \sum_c \sum_k h_{kc} * X_{kc} \\
 & + \sum_c \sum_k \eta_{kc} * b_{kc} \\
 & + \sum_d \sum_k \alpha_d * e_{kd}
 \end{aligned}$$

محدودیت‌های مدل ریاضی ارائه شده به صورت زیر فرمول بندی شده است:

(۲)

$$\sum_l \sum_j Q_{lijc} + \sum_l \sum_{j' \neq j} \sum_J Q'_{lijj'c} \leq cap_{ic} \quad \forall i, c$$

محدودیت ۲: میزان کالایی که می‌توان از تأمین‌کننده تأمین کرد از ظرفیت تولید آن کمتر باشد.

$$\sum_l \sum_i \sum_c Q_{lijc} + \sum_l \sum_{j' \neq j} \sum_c \sum_i Q'_{lijj'c} \leq ccap_j \quad \forall j \quad (3)$$

محدودیت ۳: میزان کالایی که می‌توان از تأمین‌کننده تأمین کرد از ظرفیت مرکز توزیع کمتر باشد.

$$\sum_l \sum_i Q_{lijc} + \sum_l \sum_{j \neq j} \sum_i Q'_{lij'jc} = \sum_l \sum_k Y_{ljk} + \sum_l \sum_{k \neq k} \sum_K Y^1_{ljk'c} \quad \forall j, c \quad (4)$$

محدودیت ۴: بالاتس موجودی در انبار مرکز توزیع برای محصولات امدادی

$$\sum_l \sum_j Y_{ljk} + \sum_l \sum_{k \neq k} \sum_j Y^1_{ljk'c} = dem_{kc} + X_{kc} - b_{kc} \quad \forall k, c \quad (5)$$

محدودیت ۵: بالانس تقاضای مناطق آسیب‌دیده از کالاهای امدادی

$$\sum_l \sum_m AA_{lkmd} + e_{kd} = o_{kd} \quad \forall k, d \in d1 \quad (6)$$

محدودیت ۶: محدودیت رسیدگی به مصدومان نوع خفیف مناطق آسیب‌دیده

$$\sum_l \sum_n A_{lknd} + e_{kd} = o_{kd} \quad \forall k, d \in d2 \quad (7)$$

محدودیت ۷: محدودیت رسیدگی به مصدومان جدی مناطق دچار بحران

$$\beta_{kd} \sum_l \sum_m AA_{lkmd} + (1 - \beta_{kd}) * \sum_l \sum_n A_{lknd} \leq o_{kd} \quad \forall k, d \quad (8)$$

محدودیت ۸: محدودیت طبقه‌بندی مصدومان در اثر بحران

$$\sum_l \sum_k AA_{lkmd} \leq se_{md} \quad \forall m, d \quad (9)$$

محدودیت ۹: محدودیت ظرفیت پذیرش بیماران در مرکز درمانی m

$$\sum_l \sum_k A_{lknd} \leq ca_{nd} \quad \forall n, d \quad (10)$$

محدودیت ۱۰: محدودیت ظرفیت پذیرش بیماران در بیمارستان n

$$(11) \quad \begin{aligned} & \sum_j f_j * ZZ_j + \sum_i \sum_j \sum_c \sum_l \sum_{j' \neq j} \Phi_{ic} * (Q_{lijc} + Q'_{lij'c}) \\ & + \sum_i \sum_j \sum_k \sum_l \sum_m \sum_n FV_l * (X'_{lij}) \\ & + \sum_i \sum_j \sum_c \sum_l \delta_{ijc} * Q_{lijc} \\ & + \sum_i \sum_j \sum_c \sum_l \sum_{l' \neq l} \delta'_{lij'c} * Q'_{lij'c} \leq B. \end{aligned}$$

محدودیت ۱۱: محدودیت بودجه قبل بحران

$$(12) \quad \begin{aligned} & \sum_m V_m * H_m + \sum_i \sum_j \sum_k \sum_l \sum_m \sum_n FV_l * (X^{\Delta}_{lkm} + X^{\hat{r}}_{lkn} + X^r_{ljk}) \\ & + \sum_i \sum_j \sum_c \sum_l \sum_{l' \neq l} \Phi_{ic} * (Q_{lijc} + Q'_{lij'c}) \\ & + \sum_c \sum_j \sum_k \sum_l cc_{ljk} * Y_{ljk} \\ & + \sum_c \sum_j \sum_k \sum_l \sum_{K' \neq K} ccc_{ljk k'c} * Y^1_{ljk'k} \\ & + \sum_k \sum_n \sum_d \sum_l U_{knd} * A_{lkn} + \sum_k \sum_m \sum_d z_{kmd} * AA_{lkm} \\ & + \sum_c \sum_k h_{kc} * X_{kc} + \sum_c \sum_k \eta_{kc} * b_{kc} + \sum_d \sum_k \alpha_d * e_{kd} \\ & \leq B \end{aligned}$$

محدودیت ۱۲: محدودیت بودجه بعد بحران

$$(13) \quad \Sigma_c Q_{lijc} \leq MM * X'_{lij} \quad \forall l, i, j$$

محدودیت ۱۳: محدودیت ارتباط بین مسیریابی و میزان کالای انتقال داده شده از تأمین کننده به

مرکز توزیع

$$\sum_c Q_{lijj'} \leq MM * X_{lijj'}^r \quad \forall l, i, j, j' \neq j \quad (14)$$

محدودیت ۱۴: محدودیت ارتباط بین مسیریابی و میزان کالای انتقال داده شده از تأمین کننده به مرکز توزیع

$$\sum_c Y_{ljk} \leq MM * X_{ljk}^r \quad \forall l, j, k \quad (15)$$

محدودیت ۱۵: محدودیت ارتباط بین مسیریابی و میزان کالای انتقال داده شده از توزیع کننده به مناطق آسیب دیده

$$\sum_c Y_{ljkk'} \leq MM * X_{ljkk'}^r \quad \forall l, j, k, k' \neq k \quad (16)$$

محدودیت ۱۶: محدودیت ارتباط بین مسیریابی و میزان کالای انتقال داده شده از توزیع کننده به مناطق آسیب دیده

$$\sum_j X_{lij}^r \leq 1 \quad \forall l, i \quad (17)$$

محدودیت ۱۷: محدود کردن تعداد دفعات خروج وسیله نقلیه از تأمین کننده

$$\begin{aligned} \sum_l X_{lij}^r + \sum_{j' \neq j} \sum_l X_{lj'j}^r &\leq 1 \quad \forall i, j \\ \sum_{j' \neq j} \sum_l X_{lijj'}^r &\leq 1 \quad \forall i, j \end{aligned} \quad (18)$$

محدودیت ۱۸: محدود کردن تعداد دفعات ورود وسیله نقلیه به مرکز توزیع

$$\sum_i \sum_l X_{lij}^r + \sum_i \sum_{j' \neq j} \sum_l X_{lij'j}^r = \sum_k \sum_l X_{ljk}^r + \sum_i \sum_{j' \neq j} \sum_l X_{lijj'}^r, \quad \forall j \quad (19)$$

محدودیت ۱۹: بالанс ورودی و خروجی وسیله نقلیه به مرکز توزیع

$$\sum_k X_{ljk}^r \leq 1 \quad \forall l, j \quad (20)$$

محدودیت ۲۰: محدود کردن تعداد دفعات ورود وسیله نقلیه به مرکز آسیب دیده

$$\sum_i \sum_l X_{lij}^l + \sum_i \sum_{j' \neq j} \sum_l X_{lij',j}^l = ZZ_j \quad \forall j \quad (21)$$

محدودیت ۲۱: محدودیت احداث مرکز توزیع

$$\sum_l \sum_k \sum_d AA_{lkm} \leq MM * H_m \quad \forall m \quad (22)$$

محدودیت ۲۲: محدودیت احداث مراکز درمانی

$$\sum_i X_{lij}^l \geq \sum_i \sum_{j' \neq j} X_{lij',j}^l, \quad \forall j, l \quad (23)$$

محدودیت ۲۳: ضرورت مسیریابی ابتدای دوره مراکز توزیع

$$\sum_j X_{ljk}^r \geq \sum_j \sum_{k' \neq k} X_{ljk,k'}^r \quad \forall l, K \quad (24)$$

محدودیت ۲۴: ضرورت مسیریابی ابتدای دوره برای بحران

$$\sum_d AA_{lkm} \leq MM * X_{lkm}^\delta \quad \forall l, k, m \quad (25)$$

محدودیت ۲۵: مسیریابی بین منطقه آسیب دیده و مرکز درمانی

$$\sum_d A_{lkn} \leq MM * X_{lkn}^\vartheta \quad \forall l, k, n \quad (26)$$

محدودیت ۲۶: مسیریابی بین منطقه آسیب دیده و بیمارستان

#### ۴. تحلیل داده ها و یافته های پژوهش

روش های حل مبتنی بر الگوریتم های فرآبتكاری. ازانجاكه در مسائل تک هدفه، فقط یک تابع هدف وجود دارد، بهترین جواب در آن جوابی است که با توجه به نوع تابع هدف (Max) یا (Min) بیشترین یا کمترین مقدار تابع هدف را ایجاد کند. در این کار برای صحه گذاری مدل در

ابعاد کوچک از نرم افزار گمز استفاده شد و برای صحه‌گداری در ابعاد بزرگ‌تر، الگوریتم‌های ژنتیک و رقابت استعماری به کار رفت.

نحوه نمایش کروموزوم. نحوه نمایش کروموزوم در کلیه الگوریتم‌های استفاده شده در این پژوهش به صورت یک ماتریس یک در  $n$  که شامل اعدادی بین صفر و یک است که اندازه این ماتریس با توجه به تعداد متغیرها و ابعاد هر متغیر به دست می‌آید؛ به این صورت که با توجه به تعداد متغیرهای مستقل ابعاد هر متغیر محاسبه می‌شود و با ضرب کردن اندیس‌های این ابعاد در هم تعداد ژن‌های موردنیاز هر متغیر به دست خواهد آمد. با جمع کردن این ابعاد، اندازه کروموزوم اصلی به دست می‌آید. برای مثال در مدل سازی ریاضی این پژوهش داریم:

$$x_{ij \rightarrow i=2,j=2 \rightarrow i \times j = 2 \times 2 = 4}$$

$X_{ij}$  متغیری صفر و یک در مدل ریاضی تعریف شده است. پس تعداد ژن‌های موردنیاز  $x_{ij}$  در کروموزوم ۴ ژن است؛ همچنین برای متغیر  $Q_{ik}$  که داری دو بعد است داریم:

$$Q_{ik \rightarrow i=2,k=3 \rightarrow i \times k = 2 \times 3 = 6}$$

$Q_{ik}$  متغیری عدد صحیح است. پس تعداد ژن‌های موردنیاز  $Q_{ik}$  در کروموزوم ۶ ژن است. پس اندازه کروموزوم با جمع کردن ۶ به اضافه ۶ به دست می‌آید که ۱۰ است؛ پس داریم:

جدول ۱. نحوه نمایش کروموزوم

۰/۲۳	۰/۵۴	۰/۴۴	۰/۷۵	۰/۸۷	۰/۱۹	۰/۶۳	۰/۹۸	۰/۵	۰/۴۹
------	------	------	------	------	------	------	------	-----	------

### عملگرها

#### عملگرهای الگوریتم ژنتیک

#### عملگر تقاطع دونقطه‌ای

عملگر تقاطع دونقطه‌ای

۰/۲۳	۰/۵۴	۰/۴۴	۰/۷۵	۰/۸۷	۰/۱۹	۰/۶۳	۰/۹۸	۰/۵	۰/۴۹
۰/۳۲	۰/۴۱	۰/۶۵	۰/۴۳	۰/۷۵	۰/۷۴	۰/۶۳	۰/۲۸	۰/۵۷	۰/۴۹
۰/۲۳	۰/۵۴	۰/۴۴	۰/۴۳	۰/۷۵	۰/۷۴	۰/۶۳	۰/۲۸	۰/۵۷	۰/۴۹
۰/۳۲	۰/۴۱	۰/۶۵	۰/۷۵	۰/۸۷	۰/۱۹	۰/۶۳	۰/۹۸	۰/۵	۰/۴۹

شکل ۲. عملگر تقاطع دونقطه‌ای

### عملگر تک نقطه‌ای

عملگر تقاطع تک نقطه‌ای									
۰/۲۳	۰/۵۴	۰/۴۴	۰/۷۵	۰/۸۷	۰/۱۹	۰/۶۳	۰/۹۸	۰/۵	۰/۴۹
۰/۳۲	۰/۴۱	۰/۶۵	۰/۴۳	۰/۷۵	۰/۷۴	۰/۶۳	۰/۲۸	۰/۵۷	۰/۴۹
↓									
۰/۲۳	۰/۵۴	۰/۴۴	۰/۷۵	۰/۸۷	۰/۱۹	۰/۶۳	۰/۹۸	۰/۵	۰/۴۹
۰/۳۲	۰/۴۱	۰/۶۵	۰/۴۳	۰/۷۵	۰/۷۴	۰/۶۳	۰/۲۸	۰/۵۷	۰/۴۹

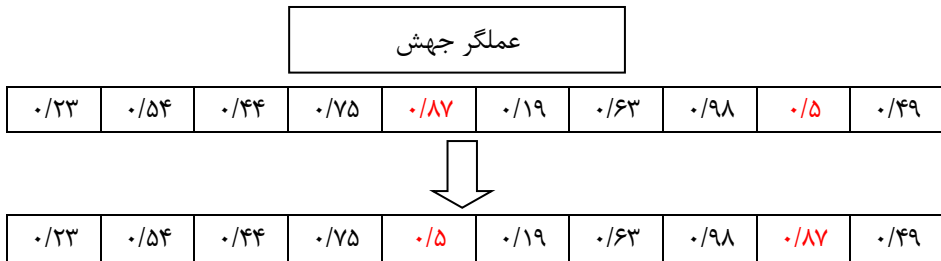
شکل ۳. عملگر تقاطع تک نقطه‌ای

### تقاطع یونیفرم

عملگر تقاطع یونیفرم									
۰/۲۳	۰/۵۴	۰/۴۴	۰/۷۵	۰/۸۷	۰/۱۹	۰/۶۳	۰/۹۸	۰/۵	۰/۴۹
۰	۰	۱	۰	۱	۱	۱	۰	۱	۱
↓									
۰/۳۲	۰/۴۱	۰/۶۵	۰/۴۳	۰/۷۵	۰/۷۴	۰/۶۳	۰/۲۸	۰/۵۷	۰/۴۹
۰/۳۲	۰/۴۱	۰/۴۴	۰/۴۳	۰/۸۷	۰/۱۹	۰/۶۳	۰/۲۸	۰/۵	۰/۴۹
۰/۲۳	۰/۵۴	۰/۶۵	۰/۷۵	۰/۷۵	۰/۷۴	۰/۶۳	۰/۹۸	۰/۵۷	۰/۴۹

شکل ۴. عملگر تقاطع یونیفرم

### عملگر جهش



شکل ۵. عملگر جهش

### عملگرهای الگوریتم رقابت استعماری

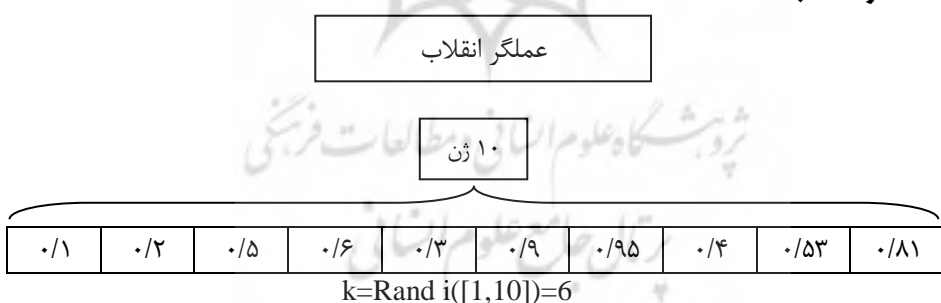
#### عملگر جذب



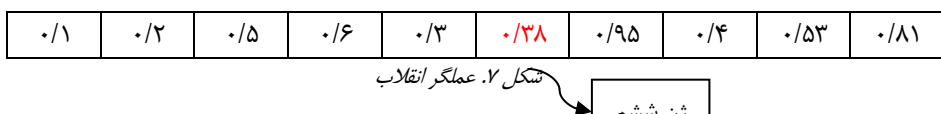
$d = \text{position1} - \text{position2}$   
 $x = \beta \times d \times R$   
 $\text{position2} = \text{position2} + x$

شکل ۶. عملگر جذب

### عملگر انقلاب



$k = \text{Rand i}([1, 10]) = 6$



شکل ۷. عملگر انقلاب  
 زن ششم

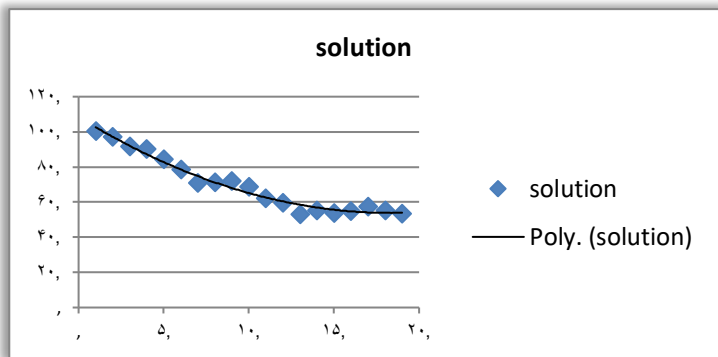
تنظیم پارامتر. منظور از تنظیم پارامتر، انتخاب بهترین مقدار برای پارامترها بهنحوی است که عملکرد الگوریتم در سطح بهینه قرار گیرد؛ بنابراین پارامترهای هر الگوریتم تأثیر زیادی بر کارایی و اثربخشی الگوریتم (رسیدن به جواب مناسب در زمان مناسب) دارند. تنظیم نامناسب پارامترها ممکن است موجب بدست‌آمدن نتایج نامناسبی در مسئله مورد مطالعه شود. الگوریتم پیشنهادی این پژوهش، الگوریتم ژنتیک است که به صورت کامل تنظیم پارامتر برای الگوریتم ژنتیک را نشان داده خواهد شد.

پارامترهای تنظیم‌کننده الگوریتم ژنتیک عبارت‌اند از: اندازه جامعه اولیه ( $pop_{size}$ )؛ نرخ تقاطع ( $p_c$ )؛ نرخ جهش ( $p_m$ ) و حداکثر تعداد نسل‌ها ( $iter\_max$ ). هر یک از این پارامترها در بازه خاصی از مقادیر خود بر شاخص‌های محاسباتی اثر می‌گذارد. شاخص‌های محاسباتی موردنظر، میانگین مقادیر تابع هدف برای جواب‌های بهینه و میانگین زمان محاسباتی آن‌ها در ۱۰ تکرار از الگوریتم است.

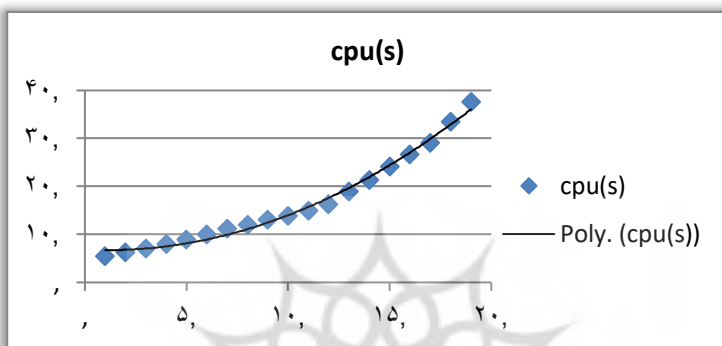
در این قسمت ابتدا برای هر یک از پارامترها محدوده مؤثرشان مشخص شده و سپس از طریق طراحی آزمایش‌های چندعاملی با استفاده از روش تاگوچی به بررسی و تحلیل اثرات متقابل پارامترها پرداخته می‌شود و درنهایت ترکیب بهینه<sup>۱</sup> معین خواهد شد.

اندازه جامعه اولیه. یکی از مهم‌ترین پارامترهای الگوریتم ژنتیک اندازه جامعه اولیه است. اندازه‌های کوچک به علت کوچک‌بودن محدوده جستجو رسانیدن به جواب موردنظر را تضمین نمی‌کند؛ در مقابل اندازه‌های بزرگ احتمال رسیدن به جواب مناسب در زمان مناسب را کاهش می‌دهد. به همین منظور آزمایش‌های متعددی برای سطوح مختلف از این پارامتر صورت گرفته و تأثیر آن بر کیفیت جواب‌ها در شکل ۸ و زمان حل در شکل ۹، نشان داده شده است. با توجه به شکل ۲، کیفیت جواب‌ها تا رسیدن به اندازه ۹۰ افزایش می‌یابد و بعد از آن تأثیر کیفی خود را از دست می‌دهد و جواب‌ها به مقدار ثابتی همگرا می‌شوند. با توجه به شکل ۳، افزایش اندازه جامعه باعث افزایش زمان حل می‌شود.

<sup>۱</sup>. Optimal Combination



شکل ۸. کیفیت جوابها و اندازه جامعه



شکل ۹. زمان محاسباتی و اندازه جامعه

تقاطع. آزمایش‌های انجام‌گرفته برای تعیین نرخ تقاطع، در محدوده عددی  $0/45$  تا  $0/90$  است. نتایج نشان می‌دهند که کیفیت جوابها با افزایش نرخ تقاطع تا مقدار  $0/7$  افزایش می‌یابد و سپس به یک مقدار ثابت همگرا می‌شود. با افزایش نرخ تقاطع زمان حل نیز کمی افزایش می‌یابد.

نرخ جهش. آزمایش‌های انجام‌گرفته برای تعیین نرخ جهش، با مقادیر  $0/05$ ،  $0/08$ ،  $0/10$ ،  $0/15$ ،  $0/18$  و  $0/20$  است. بهترین حالت جوابها در بازه‌ی  $0/20$  تا  $0/40$  دیده می‌شوند.

حداکثر تعداد نسل‌ها. با افزایش تعداد نسل‌ها زمان حل نیز افزایش می‌یابد. محدوده مناسب این پارامتر بازه  $200$  تا  $400$  در نظر گرفته می‌شود. در این قسمت با افزایش تعداد نسل به محدوده‌های بالا و آزمون آن‌ها، جواب‌های بهتری حاصل می‌شود. این جواب‌ها از سطح  $200$  به بالا ثابت یا به عبارتی همگرا می‌شود؛ بنابراین برای صرفه‌جویی در زمان سطح  $200$  به عنوان

سطح مؤثر در نظر گرفته شد. محدوده‌های به دست آمده برای پارامترها در جدول ۲، ارائه شده است.

جدول ۲. پارامترهای کنترل‌کننده الگوریتم ژنتیک و محدوده مؤثران

محدوده مؤثر	پارامترها
۴۰-۶۰	اندازه جامعه اولیه (popsize)
۰/۶-۰/۸	نرخ تقاطع (p <sub>c</sub> )
۰/۲۰-۰/۴۰	نرخ چهش (p <sub>m</sub> )
۲۰۰-۴۰۰	حداکثر تعداد نسل (iter_max)

تنظیم پارامتر چند عاملی. برای دستیابی به بهترین ترکیب پارامترها، به وسیله روش تاگوچی هر کدام از چهار عامل ذکر شده در بخش قبل در سه سطوح مورد آزمون قرار می‌گیرد و میانگین جواب‌ها و میانگین زمان‌های محاسباتی به عنوان سطوح پاسخ در نظر گرفته می‌شود. عامل‌ها و سطوح الگوریتم ژنتیک در جدول ۳، نشان داده شده است. داده‌های تولید شده توسط نرم‌افزار MINITAB 16 تحلیل شده و نتایج در جدول ۳، ارائه شده است.

جدول ۳. عوامل و سطوح آن‌ها

سطوح	پارامترها
۴۰، ۵۰، ۶۰	اندازه جامعه اولیه (popsize)
۰/۶، ۰/۷، ۰/۸	نرخ تقاطع (p <sub>c</sub> )
۰/۲۰، ۰/۳۰، ۰/۴۰	نرخ چهش (p <sub>m</sub> )
۲۰۰، ۳۰۰، ۴۰۰	حداکثر تعداد نسل (iter_max)

ترکیب عوامل به همراه زمان حل آن‌ها و مقدارشان در جدول ۴، آورده شده است.

جدول ۴. ترکیب عوامل و سطوح پاسخ مربوطه در آزمایش‌های چند عاملی

popsize	p <sub>c</sub>	p <sub>m</sub>	iter_max	Solution	CPU(s)
۴۰	۰/۶۰	۰/۲۰	۲۰۰	۸۵/۶۱	۹/۴۶
۴۰	۰/۶۰	۰/۲۰	۳۰۰	۸۴/۹۸	۱۱/۶
۴۰	۰/۶۰	۰/۲۰	۴۰۰	۸۴/۰۱	۱۴/۱۸
۴۰	۰/۷۰	۰/۳۰	۲۰۰	۸۳/۱۱	۹/۷۷
۴۰	۰/۷۰	۰/۳۰	۳۰۰	۷۰/۸۴	۱۱/۸۷
۴۰	۰/۷۰	۰/۳۰	۴۰۰	۵۷/۵	۱۵/۴۱
۴۰	۰/۸۰	۰/۴۰	۲۰۰	۷۷/۲	۱۰/۳۸
۴۰	۰/۸۰	۰/۴۰	۳۰۰	۶۶/۲۹	۱۲/۳۹

<b>popsize</b>	<b>p<sub>c</sub></b>	<b>p<sub>m</sub></b>	<b>iter_max</b>	<b>Solution</b>	<b>CPU(s)</b>
۴۰	.۰/۸۰	.۰/۴۰	۴۰۰	۶۵/۱۸	۱۵/۷۷
۵۰	.۰/۸۰	.۰/۲۰	۲۰۰	۸۰/۶۲	۱۱/۱۶
۵۰	.۰/۸۰	.۰/۲۰	۳۰۰	۶۰/۶۲	۱۲/۸۹
۵۰	.۰/۸۰	.۰/۲۰	۴۰۰	۵۹/۷۲	۱۶/۰۹
۵۰	.۰/۷۰	.۰/۳۰	۲۰۰	۶۱/۵۸	۱۱/۸۶
۵۰	.۰/۷۰	.۰/۳۰	۳۰۰	۵۳/۳۵	۱۳/۰۷
۵۰	.۰/۷۰	.۰/۳۰	۴۰۰	۵۰/۷۱	۱۶/۶۳
۵۰	.۰/۸۰	.۰/۴۰	۲۰۰	۷۶/۰۱	۱۲/۰۱
۵۰	.۰/۸۰	.۰/۴۰	۳۰۰	۵۲/۶۵	۱۳/۴۹
۵۰	.۰/۸۰	.۰/۴۰	۴۰۰	۴۸/۰۵	۱۷/۱۱
۶۰	.۰/۶۰	.۰/۲۰	۲۰۰	۷۱/۷۴	۱۲/۹۸
۶۰	.۰/۶۰	.۰/۲۰	۳۰۰	۶۲/۶۱	۱۴/۴۹
۶۰	.۰/۶۰	.۰/۲۰	۴۰۰	۶۲/۱۱	۱۸/۱۲
۶۰	.۰/۷۰	.۰/۳۰	۲۰۰	۶۵/۵۹	۱۳/۰۱
۶۰	.۰/۷۰	.۰/۳۰	۳۰۰	۵۸/۵۹	۱۵/۱۱
۶۰	.۰/۷۰	.۰/۳۰	۴۰۰	۴۶/۶۷	۱۸/۸۶
۶۰	.۰/۸۰	.۰/۴۰	۲۰۰	۷۴/۶۷	۱۲/۳۶
۶۰	.۰/۸۰	.۰/۴۰	۳۰۰	۵۸/۷۹	۱۵/۲۶
۶۰	.۰/۸۰	.۰/۴۰	۴۰۰	۵۷/۷۴	۱۹/۰۱

جدول ۵. ضرایب همبستگی تخمینی مدل برای نسبت‌های سینگتل به نویز

<b>Source</b>	<b>DF</b>	<b>Seq SS</b>	<b>Adj SS</b>	<b>Adj MS</b>	<b>F</b>	<b>P</b>
Iter_max	۲	۳/۰.۳۶۸	۳/۰.۳۶۸	۱/۵۱۸۴۰	۱۵/۸۱	.۰/۰۰
Pm	۲	.۰/۲۷۷۳	.۰/۲۷۷۳	.۰/۱۳۸۶۶	۱/۴۴	.۰/۲۶۲
Pc	۲	۱/۶۰۵۹	۱/۶۰۵۹	.۰/۸۰۲۹۳	۸/۳۶	.۰/۰۰۳
Popsize	۲	۲/۲۰۱۷	۲/۲۰۱۷	۱/۱۰۰۸۴	۱۱/۴۷	.۰/۰۰۱
Residual Error	۱۸	۱/۷۲۸۳	۱/۷۲۸۳	.۰/۰۹۶۰۲		
Total	۲۶	N/۸۵۰۰				

جدول ۶. تحلیل واریانس برای نسبت‌های سیگنال به نویز

Term	Coef	SE Coef	T	P
Cnst.	۲۸/۶۸۶۲	.۰۰۵۹۶۳	۴۸۰/۳۷۱	.۰۰۰
۷*Iter_max	.۰۱۰۷۲	.۰۰۸۴۳۳	۱/۲۷۲	.۰۲۰
۸۵Iter_max	.۰۳۴۶۵	.۰۰۸۴۳۳	۴/۱۰۸	.۰۰۱
.۰/۱۰P <sub>m</sub>	-۰/۰۸۰۵	.۰۰۸۴۳۳	-۰/۹۵۴	.۰۳۵۳
.۰/۱۵P <sub>m</sub>	.۰۱۴۲۹	.۰۰۸۴۳۳	۱/۶۹۵	.۰۱۰۷
.۰/۵P <sub>c</sub>	-۰/۲۹۲۰	.۰۰۸۴۳۳	-۳/۴۶۲	.۰۰۳
.۰/۶P <sub>c</sub>	.۰۳۰۵۰	.۰۰۸۴۳۳	۳/۶۱۶	.۰۰۲
۷*Popsize	-۰/۱۱۲۲	.۰۰۸۴۳۳	-۱/۳۳۱	.۰۲۰۰
۸*Popsize	.۰۳۹۲۱	.۰۰۸۴۳۳	۴/۶۴۹	.۰۰۰

جدول ۷، نشان‌دهنده ضریب همبستگی فاکتورها برای نسبت‌های SN<sup>۱</sup> و جدول ۸، نشان‌دهنده ضریب همبستگی عامل‌ها برای میانگین پاسخ‌ها است. در این جدول‌ها ضرایب با مقدار قدر مطلق بزرگ‌تر دارای اهمیت بیشتری هستند. همان‌طوری که در جدول ۷ مشاهده می‌شود، در سطح اطمینان ۹۵ درصد عامل‌های ۸۵ Iter\_max ۰/۶، P<sub>c</sub> ۰/۰، P<sub>m</sub> ۰/۱۵، Popsize ۷۰، تأثیر معناداری بر پاسخ‌ها دارند؛ همچنین برای عامل‌ها، آزمایش تحلیل واریانس نسبت به ضرایب SN و میانگین پاسخ‌ها صورت گرفت که نتایج آن در جدول‌های ۹ و ۱۰، ارائه شده و نشان‌دهنده اثر معنادار سه عامل Popsize ۹۵ درصد بر پاسخ‌ها است.

جدول ۷. ضرایب همبستگی تخمینی مدل برای میانگین پاسخ‌ها

P	T	SE Coef	Coef	Term
.۰۰۰	۱۴۷/۳۱۴	.۰۱۸۴۱	۲۷/۱۱۷۶	Cnst.
.۰۲۰	۱/۱۶۳	.۰۲۶۰۳	.۰۳۰۲۷	Iter_max 70
.۰۰۱	۴/۱۸۹	.۰۲۶۰۳	.۰۰۹۰۵	Iter_max 85
.۰۰۹	-۱/۰۴۷	.۰۲۶۰۳	-۰/۲۷۲۶	P <sub>m</sub> 0/10
.۰۰۱	۱/۷۸۶	.۰۲۶۰۳	.۰۴۶۵۰	P <sub>m</sub> 0/15
.۰۰۳	-۳/۴۶۵	.۰۲۶۰۳	-۰/۹۰۰۲۱	P <sub>c</sub> 0/5
.۰۰۲	۳/۶۲۱	.۰۲۶۰۳	.۰۹۴۲۷	P <sub>c</sub> 0/6
.۰۱۸۴	-۱/۳۸۳	.۰۲۶۰۳	-۰/۳۶۰۰	Popsize 70
.۰۰۰	۴/۷۷۴	.۰۲۶۰۳	۱/۲۴۲۸	Popsize 80

1. Signal to Noise

جدول ۹. تحلیل واریانس برای میانگین پاسخ‌ها

P	F	Adj MS	Adj SS	Seq SS	DF	Source
.000	15/85	14/4983	28/997	28/997	2	Iter_max
.027	1/61	1/4740	2/948	2/948	2	Pm
.003	8/38	7/6688	15/338	15/338	2	Pc
.000	12/07	11/0399	22/080	22/080	2	Popsize
	.9149	16/468	16/468	16/468	18	Residual Error
			85/831	85/831	26	Total

جدول‌های ۹ و ۱۰، رتبه‌بندی عامل‌ها را با توجه به تحلیل پاسخ نسبت به ضرایب SN و میانگین نشان می‌دهد.

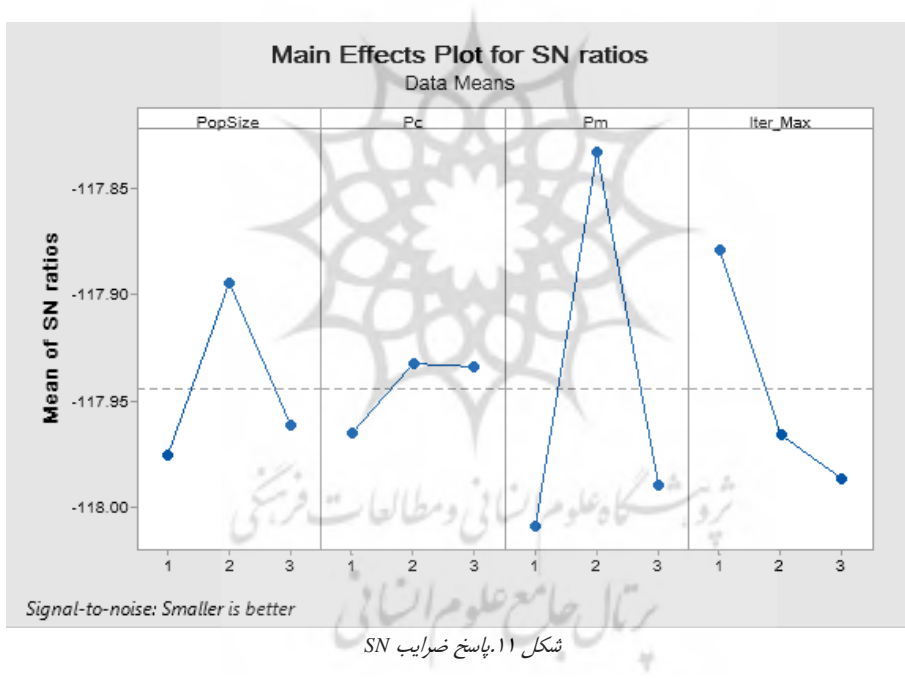
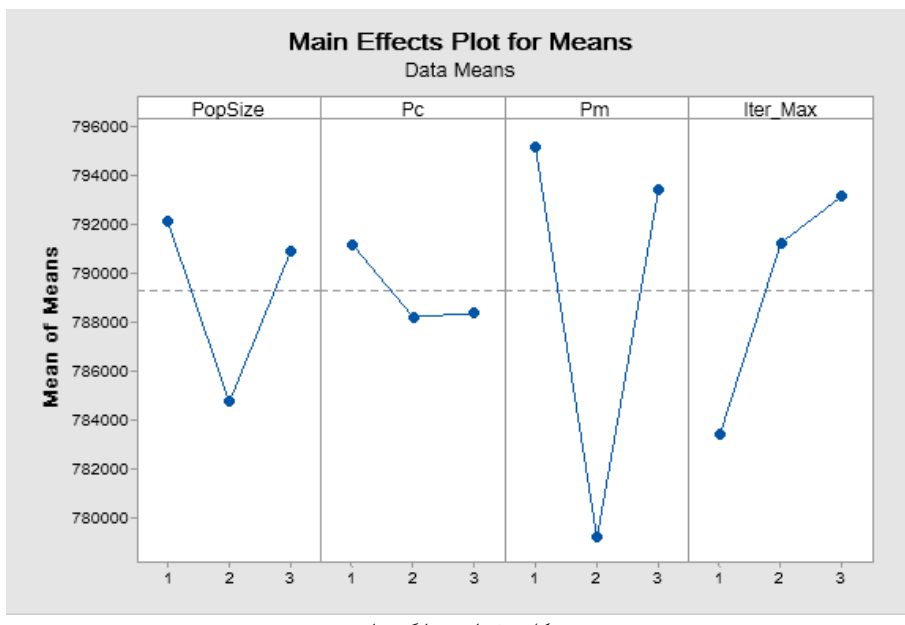
جدول ۹. پاسخ SN

popsize	p <sub>c</sub>	p <sub>m</sub>	Iter_max	Level
28/53	28/35	28/57	28/75	1
29/04	28/95	28/79	28/99	2
28/37	28/63	28/58	28/19	3
.067	.060	.022	.080	Delta
2	3	4	1	Rank

جدول ۱۰. پاسخ میانگین‌ها

popsize	p <sub>c</sub>	p <sub>m</sub>	Iter_max	Level
26/76	26/22	26/84	27/42	1
28/36	28/06	27/58	28/21	2
26/23	27/08	26/93	25/72	3
2/13	1/84	.074	2/48	Delta
2	3	4	1	Rank

اثرات متقابل فاکتورها برای میانگین پاسخ‌ها و نسبت به ضرایب SN در شکل‌های ۱۰ و ۱۱، نشان داده شده است.

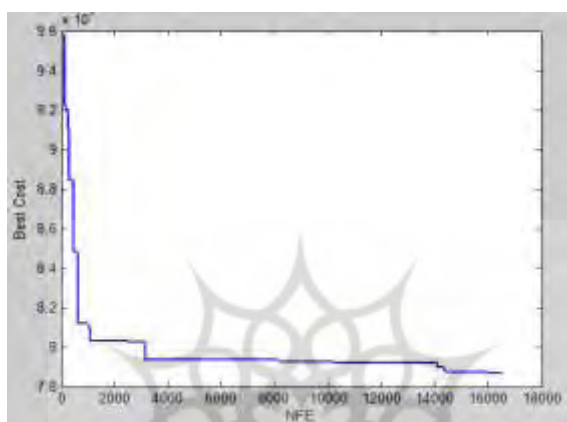


با توجه به آزمایش‌های انجام شده، پارامترهای الگوریتم ژنتیک به صورت جدول ۱۱، است.

جدول ۱۱. مقادیر تنظیم شده پارامترهای ژنتیک

پارامترها	سطوح
اندازه جامعه اولیه (pop_size)	۵۰
نرخ تقاطع (p_c)	۰/۷۰
نرخ جهش (p_m)	۰/۳
حداکثر تعداد نسل (iter_max)	۲۰۰

بررسی همگرایی الگوریتم ژنتیک ارائه شده. به منظور بررسی همگرایی الگوریتم ژنتیک ارائه شده مسائل متعددی انتخاب شد که در شکل ۱۲، همگرایی الگوریتم ژنتیک ارائه شده است.



شکل ۱۲. نمودار همگرایی الگوریتم ژنتیک ارائه شده

اعمال آزمایش تاگوچی بر پارامترهای الگوریتم رقابت استعماری. پارامترهای الگوریتم رقابت استعماری در ۳ سطح در جدول ۱۲، ارائه شده است.

جدول ۱۲. پارامترهای الگوریتم رقابت استعماری در ۳ سطح

پارامتر	سطح ۳	سطح ۲	سطح ۱
ماکزیمم تکرار (Max decade)	۲۰۰	۱۵۰	۱۰۰
تعداد کشورهای استعمارگر (imp_N)	۱۰	۸	۵
تعداد کل کشورهای مستعمره و استعمارگر (Countries_N)	۲۰۰	۱۶۰	۱۰۰
ضریب جذب (Beta)	۳	۲/۵	۲
ضریب انقلاب (Revolution_P)	۰/۸	۰/۶	۰/۱
ضریب قدرت (Zeta)	۰/۴	۰/۳	۰/۱

با توجه به وجود شش متغیر و سه سطح، از نرم افزار مینی تب<sup>۱</sup> برای اعمال آزمایش های تاگوچی برای تعیین مقادیر بهینه پارامترها استفاده شد. این روش ۲۷ آزمایش را به صورت جدول ۱۳، پیشنهاد می کند. نتیجه بر اساس سطح مشخص شده برای هر پارامتر توسط الگوریتم رقابت استعماری محاسبه شد که در جدول ۱۴، ارائه شده است.

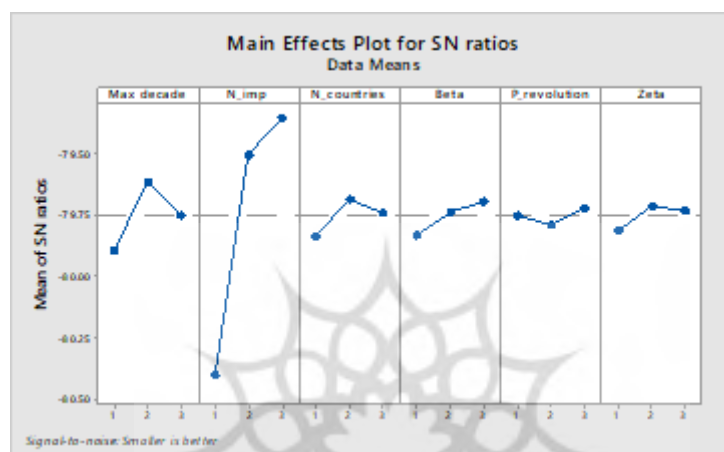
جدول ۱۳. آزمایش های پیشنهادی تاگوچی برای الگوریتم رقابت استعماری

C1	C2	C3	C4	C5	C6	C7
Max decade	N_imp	N_Countries	Beta	P_Revolution	Zeta	Objective Funcione
۱	۱	۱	۱	۱	۱	۱۰۸۲۱
۲	۱	۱	۱	۲	۲	۱۱۰۹۸
۳	۱	۱	۱	۳	۳	۱۰۶۲۳
۴	۱	۲	۲	۱	۱	۱۰۱۸۸
۵	۱	۲	۲	۲	۲	۹۱۴۰
۶	۱	۲	۲	۳	۳	۹۲۱۹
۷	۱	۳	۳	۱	۱	۹۱۷۹
۸	۱	۳	۳	۲	۲	۹۴۹۶
۹	۱	۳	۳	۳	۳	۹۳۹۷
۱۰	۲	۱	۲	۳	۱	۹۸۷۲
۱۱	۲	۱	۲	۳	۳	۱۰۵۲۴
۱۲	۲	۱	۲	۳	۱	۱۰۰۶۹
۱۳	۲	۲	۳	۱	۱	۹۲۳۸
۱۴	۲	۲	۳	۱	۲	۹۲۷۸
۱۵	۲	۲	۳	۱	۳	۹۵۷۵
۱۶	۲	۳	۱	۲	۱	۹۱۷۹
۱۷	۲	۳	۱	۲	۲	۹۲۷۸
۱۸	۲	۳	۱	۲	۳	۹۱۵۹
۱۹	۳	۱	۳	۲	۱	۱۰۶۰۳
۲۰	۳	۱	۳	۲	۲	۱۰۰۳۰
۲۱	۳	۱	۳	۲	۳	۱۰۷۰۲
۲۲	۳	۲	۱	۳	۱	۹۲۷۸
۲۳	۳	۲	۱	۳	۲	۹۷۹۲
۲۴	۳	۲	۱	۳	۲	۹۳۳۷
۲۵	۳	۳	۲	۱	۱	۹۲۵۸
۲۶	۳	۳	۲	۱	۲	۹۳۷۷
۲۷	۳	۳	۲	۱	۳	۹۲۳۸

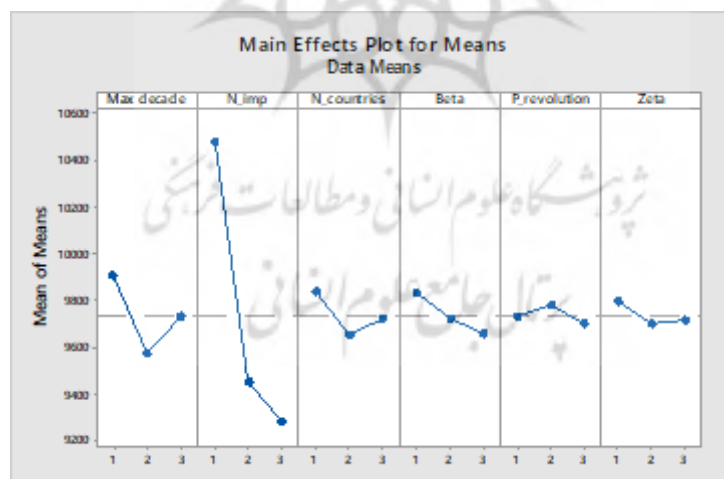
جدول ۱۴. مقادیر تنظیم شده پارامترهای الگوریتم رقابت استعماری

Parameters	Optimum amount
Max decade	۱۵۰
N_imp	۱۰
N_Countries	۱۶۰
Beta	۳
P_Revolution	.۸/۰
Zeta	.۳/۰

نتیجه تحلیلی آزمایش‌های تاگوچی در شکل‌های ۱۳ و ۱۴، مشاهده می‌شود.



شکل ۱۳. نمودار نرخ سیگنال به نویز در نتیجه تحلیل نتایج آزمایش‌های تاگوچی



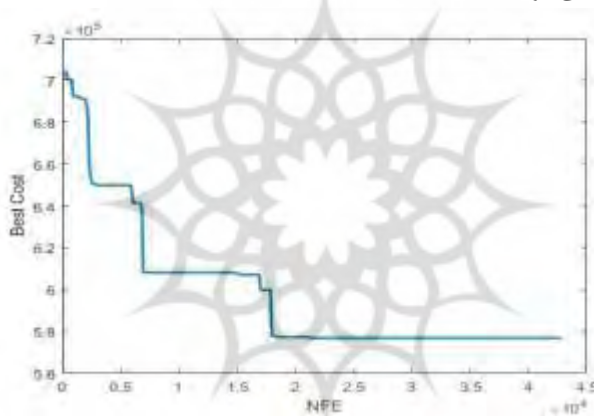
شکل ۱۴. نمودار میانگین در نتیجه تحلیل نتایج آزمایش‌های تاگوچی

هرچه نرخ سیگنال به نویز بالاتر باشد و همچنین هرچه میزان میانگین کمتر باشد، نتیجه بهتر خواهیم بود. طبق نمودارهای بالا، برای پارامترهای اول، سوم و ششم سطح دو و برای سایر پارامترها سطح سه حالت بهینه را ایجاد می‌کند و بیشترین حساسیت این طرح نسبت به تعداد کشورهای استعمارگر و کمترین میزان حساسیت به ضریب انقلاب است. درنهایت خروجی پیش‌بینی شده توسط این تحلیل در حالت بهینه، ۸۸۱/۶۶ و سطح ۱ خواهد بود.

Taguchi Analysis: Objective Fu versus Max decade,N_imp, N_Countries, Beta, P_Revolution, ...
Predicted values
S/N Ratio Mean
-79.0119 8888.66
Factor levels for Predictions.

شکل ۱۵. تحلیل تایج آزمایش‌های تاگوچی با الگوریتم رقابت استعماری

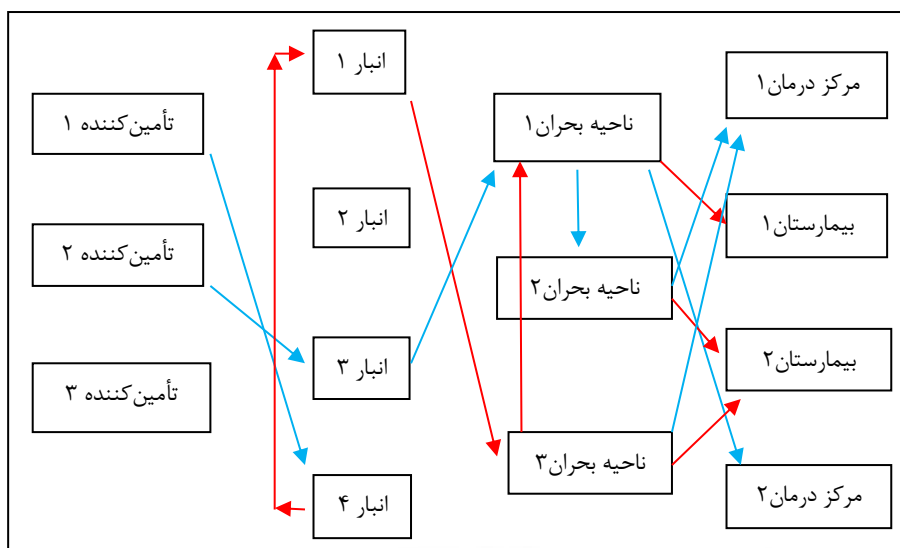
بررسی همگرایی الگوریتم رقابت استعماری. بهمنظور بررسی همگرایی الگوریتم رقابت استعماری ارائه شده مسائل متعددی انتخاب شد که در شکل ۱۶، همگرایی الگوریتم رقابت استعماری مشاهده می‌شود.



شکل ۱۶. نمودار همگرایی الگوریتم رقابت استعماری

نتایج محاسباتی. پردازشگر اجراکننده رایانه‌ای با مشخصات  $RAM\ 6400\ GB$  و  $GHZ\ 2/30$  و تحت سیستم عامل ویندوز ۷ بود. برای طراحی روش فرآیندکاری از نرم‌افزار متلب استفاده شد. هر یک از مسائل ۱۰ بار به صورت تصادفی اجرا شد. در مسائل به ارائه نتایج محاسباتی حاصل از مسائل منتخب با ابعاد بزرگ‌تر پرداخته شد. از آنجاکه نرم‌افزار گمز قادر به حل مدل با ابعاد بزرگ‌تر نیست، از الگوریتم پیشنهادی برای حل مدل استفاده شد. هدف از انجام این آزمون، تعیین نحوه عملکرد الگوریتم پیشنهادی در شرایط مختلف است. نتایج جواب گمز به صورت

گرافیکی در شکل ۱۷ و نتایج عددی در جدول‌های ۱۵ و ۱۶، نشان داده شده است.



شکل ۱۷. نمایش گرافیکی گمز

جدول ۱۵. نمادهای به کاررفته برای مقایسه الگوریتم

زمان موردنیاز	$t(s)$
مقدار تابع هدف گمز	$f_{opt}$
بهترین مقدار تابع هدف الگوریتم	$f_{best}$
متوسط مقدار تابع هدف الگوریتم	$f_{avr}$

جدول ۱۶. مقادیر بدست آمده از اجراهای متفاوت برای هر دو الگوریتم و گمز

Algorithm ICA			Algorithm GA			GAMS	
$t(s)$	$f_{avr}$	$f_{best}$	$t(s)$	$f_{avr}$	$f_{best}$	$t(s)$	$f_{opt}$
۱/۱۶۲	۱۵۴۳۲۰۰	۱۱۷۵۶۰۰	۱/۱۳۵	۱۳۴۹۲۰۰	۱۱۷۰۵۰۰	۱/۱۲	۱۱۷۰۵۰۰
۲/۴	۲۹۹۰۰۰۰	۲۳۶۰۵۲۱	۲/۳۹	۲۹۵۰۰۰۰	۲۳۵۱۳۰۲	۲/۳۷	۲۳۴۵۰۰۰
۲/۴	۵۸۳۰۰۰۰	۴۳۲۵۶۲۵	۳/۲	۴۹۸۰۰۰۰	۴۳۲۰۰۰۰	۳/۲	۴۳۲۰۰۰۰
۴/۹	۶۸۳۸۰۵۰	۵۵۰۳۲۵۰	۳/۸	۶۸۳۸۰۵۰	۵۴۷۰۳۲۵	-	-
۵/۹	۹۷۴۶۹۰۰	۸۳۲۵۶۲۵	۴/۳	۸۷۴۶۹۰۰	۸۲۳۵۶۰۲	-	-
۶/۴	۱۵۳۸۹۰۰۰	۱۲۰۰۱۱۱۵	۵/۶	۱۱۸۸۹۰۰۰	۱۱۷۰۸۱۷۵	-	-
۶/۳	۱۴۰۳۱۳۹۰	۱۳۲۳۶۰۵۰	۵/۴	۱۳۳۳۵۴۷۰	۱۳۲۳۹۷۳۰	-	-
۷/۳	۱۵۸۸۲۶۴۰	۱۴۵۳۵۸۲۰	۶/۹	۱۴۰۰۰۸۰۰	۱۳۵۹۴۷۴۰	-	-

Algorithm ICA			Algorithm GA			GAMS	
t(s)	f <sub>avr</sub>	f <sub>best</sub>	t(s)	f <sub>avr</sub>	f <sub>best</sub>	t(s)	f <sub>opt</sub>
۱۱/۳	۱۹۰۰۶۴۷۰	۱۶۷۱۶۳۹۰	۹/۳	۱۵۱۱۱۵۳۵۰	۱۴۲۲۲۴۹۰	-	-
۱۶/۲	۳۵۰۵۲۳۰۹۰	۳۲۶۳۴۴۳۰	۱۴/۳	۲۱۲۷۴۲۰۰	۳۰۲۳۷۹۱۰	-	-
۱۸/۱	۳۶۲۷۴۸۳۰	۳۴۲۰۷۸۷۰	۱۷/۳	۳۵۴۷۱۱۲۰	۳۳۰۷۳۷۷۰	-	-
۳۰/۴	۴۶۶۴۱۹۳۰	۴۴۰۴۸۷۴۰	۲۳/۵	۴۲۷۱۰۶۳۰	۴۱۲۸۵۶۲۰	-	-
۵۱/۳	۷۶۰۹۳۲۹۰	۷۲۴۲۳۱۵۰	۲۷/۹	۶۸۵۵۸۶۴۰	۶۵۲۵۸۱۰۰	-	-
۶۴	۱۰۱۹۲۲۷۴۰	۹۷۱۴۶۰۹۰	۳۲/۳	۹۴۵۴۵۰۲۰	۸۹۶۵۶۶۸۰	-	-
۷۶/۳	۲۰۴۵۲۲۶۷۰	۲۰۲۳۳۲۶۲۰	۴۴/۷	۱۹۳۳۲۲۰۲۰	۱۸۲۸۷۶۵۸۰	-	-
۸۵/۲	۲۴۱۷۹۱۳۳۰	۲۳۸۴۹۶۹۹۰	۷۱/۷	۲۳۲۰۲۳۷۷۰	۲۲۱۷۰۳۵۲۰	-	-
۲۰۴	۲۸۲۰۲۵۴۰۷	۲۵۷۵۷۶۷۴۹	۱۹۴	۲۵۰۵۸۵۶۷۲	۲۴۸۳۰۷۹۴۲	-	-
۱۹۷	۳۲۸۹۵۴۴۳۵	۲۸۸۴۸۵۹۵۹	۱۸۶	۲۷۰۶۳۲۵۲۵	۲۶۸۱۷۲۵۷۸	-	-

با توجه به نتایج، برای مثال‌های ۱ تا ۳ (مسائل با ابعاد کوچک)، اختلاف بین الگوریتم‌های فرالبتکاری و نرم‌افزار گمز تقریباً صفر است. از طرف دیگر به‌دلیل اینکه نرم‌افزار گمز در حالت کلی در مسائل با ابعاد متوسط و بزرگ (مسائل ۴ تا ۱۸) قابل حل نیست و در مسائل با ابعاد کوچک جواب بهینه بدست آمد، این بدین معنا است که الگوریتم‌های ارائه شده توانسته‌اند جواب بهینه را به‌دست آورند و جواب باکیفیت و مناسب ارائه دهند. برای مسائل با اندازه‌های متوسط و بزرگ، دو الگوریتم ارائه شده مقایسه شده‌اند که جواب‌ها در جدول ۱۶، خلاصه شده است. بر اساس این جدول، الگوریتم ژنتیک توانسته است جواب‌های باکیفیت‌تری نسبت به الگوریتم رقابت استعماری ارائه دهد. در حالت کلی هر دو الگوریتم توانسته‌اند کیفیت مناسبی را ارائه داده‌اند.

**ارزیابی کارایی الگوریتم‌های فرالبتکاری.** به‌منظور محاسبه عملکرد الگوریتم‌ها برای مسائل با اندازه کوچک از درصد خطأ<sup>۱</sup> (PRE) و برای مسائل متوسط و بزرگ از درصد انحراف نسبی<sup>۲</sup> (RPD) استفاده می‌شود. دلیل استفاده از PRE برای سطوح کوچک این است که در این سطح، جواب بهینه توسط نرم‌افزار گمز برای مقایسه حساب می‌شود. فرمول‌های مربوط به PRE و RPD به صورت زیر بوده و انحرافات برای مسائل مختلف در جدول‌های زیر آمده است.

1. Percentage Relative Error

2. Relative Percentage Deviation

$$PRE = \frac{sol_{avg} - O}{O} * 100 \quad (27)$$

$$RPD = \frac{sol_{avg} - sol_{min}}{sol_{min}} * 100 \quad (28)$$

در فرمول PRE، O نشان‌دهنده جواب بهینه به دست‌آمده توسط نرم‌افزار گمز است. با توجه به اینکه در مسائل با سطح متوسط و بزرگ جواب بهینه مشخصی وجود ندارد، از فرمول RPD برای به دست آوردن یک انحراف استفاده می‌شود.

جدول ۱۷. ارزیابی کارایی الگوریتم‌ها برای مسائل سطح کوچک

GA	ICA	Num
PRE	PRE	
.۱/۵۲۶۶۹	.۳۱۸۴۱	NUM01
.۲۵۷۹۹۵	.۲۷۵۰۵۳	NUM02
.۱/۵۲۷۷۷	.۳۴۹۵۳۷	NUM03
.۵۶۳۴۴۱	.۹۴۳۰۰	Mean

با توجه به بررسی درصد خطأ در اندازه کوچک مشخص شد که کارایی الگوریتم ژنتیک نسبت به الگوریتم رقابت استعماری بهتر است.

جدول ۱۸. ارزیابی کارایی الگوریتم‌ها برای مسائل سطح متوسط و بزرگ

GA	ICA	Num
RPD	RPD	
.۲۵۰۰۲۶	.۲۴۲۵۴۷	NUM04
.۰۶۲۰۸۳	.۱۷۰۷۱	NUM05
.۰۱۵۴۴۴	.۲۸۲۲۹۷	NUM06
.۰۰۷۲۳۱	.۰۶۰۰۸۸	NUM07
.۰۲۹۸۶۸	.۰۹۲۶۵۵	NUM08
.۰۶۲۰۳۱	.۱۳۷۵۹۴	NUM09
.۰۳۴۲۷۱	.۰۸۸۸۲۶	NUM10
.۰۷۲۴۸۴	.۰۶۰۴۲۳	NUM11
.۰۳۴۵۱۵	.۰۵۸۸۷	NUM12
.۰۵۰۵۷۶	.۰۵۰۶۷۶	NUM13
.۰۵۴۵۲۲	.۰۴۹۱۶۹	NUM14
.۰۵۷۷۴۸	.۰۱۰۸۷۳	NUM15
.۰۴۶۵۴۹	.۰۱۳۸۱۲	NUM16
.۰۰۹۱۷۳	.۰۹۴۹۱۷	NUM17
.۰۰۹۱۷۲	.۱۴۰۲۷۸	NUM18
.۷۹۵۶۹۳	.۱۵۵۳۷۳۵	Mean

با توجه به بررسی درصد انحراف نسبی به دست آمده کارایی الگوریتم ژنتیک نسبت به الگوریتم رقابت استعماری به دست آمد و همچنین مشخص شد که در خصوص این طرح مسئله الگوریتم ژنتیک کاراتر از الگوریتم رقابت استعماری است.

### آزمون تی (T) برای بررسی معناداری مقادیر دو الگوریتم

جدول ۱۹. آزمون تی برای بررسی معناداری مقادیر دو الگوریتم

آزمون تی استیودنت برای فرض برابری میانگین ها									
داده ها	F	مقدار	سطح معناداری	درجه آزادی	مقدار T	سطح معناداری آزمون	اختلاف میانگین	خطای استاندارد	حد پایین اطمینان
آزمون لون برای فرض برابری واریانس ها									
۰/۰۵	۰/۰۵	۰/۰۵	۰/۰۵	۳۶	۰/۹۶	۰/۰۵	۰/۰۵	۰/۰۵	۰/۰۵
۰/۰۵	۰/۰۵	۰/۰۵	۰/۰۵	۱	۰/۹۶	۰/۰۵	۰/۰۵	۰/۰۵	۰/۰۵

طبق جدول ۱۹، برای انجام آزمون فرضیه بین میانگین دو جامعه مستقل باید آزمون برابری واریانس دو جامعه انجام شود و با توجه به نتیجه به دست آمده آماره صحیح انتخاب و بر اساس آن نتیجه گیری صورت گیرد. همان‌گونه که مشاهده می‌شود مقدار آماره F برابر ۰/۶۹۱ و احتمال معناداری برابر ۰/۱۱۲ است؛ بنابراین فرض صفر (برابری واریانس ها) رد نمی‌شود و واریانس ها برابر است.

در اینجا با توجه به برابری واریانس ها باید از آماره ها و نتایجی که در ستون فرض برابری واریانس ها ارائه شده است، استفاده شود. با توجه به اینکه مقدار آماره ۰/۹۹۴ و احتمال معناداری ۰/۰۵۶ است، فرض صفر (برابری میانگین دو جامعه) را نمی‌توان رد کرد؛ در نتیجه اختلاف معناداری بین میانگین و جامعه (دو الگوریتم) مشاهده نمی‌شود.

**تحلیل واریانس.** با توجه به مقایسه درصد انحراف نسبی، مشخص شد که الگوریتم ژنتیک عملکرد بهتری نسبت به الگوریتم رقابت استعماری دارد؛ اما آیا از لحاظ آماری بین عملکردهای این دو الگوریتم اختلاف معنادار وجود دارد یا خیر؟ با توجه به این سوال، در این قسمت با انجام

تحلیل واریانس این موضوع بررسی می‌شود که آیا اختلاف معناداری بین عملکرد دو الگوریتم وجود دارد یا خیر؟ به همین منظور از برای انجام تحلیل واریانس از نرم‌افزار 26 SPSS که جدیدترین ورژن این نرم‌افزار است استفاده شد. با استفاده از ورودی‌های انحراف نسبی تحلیل واریانس صورت گرفت که خروجی‌های نرم‌افزار به صورت جدول ۲۰، است.

جدول ۲۰. آمار توصیفی تحلیل واریانس

داده‌ها	بیشترین مقدار	کمترین مقدار	حد بالا فاصله اطمینان	حد پایین فاصله اطمینان	خطای استاندارد	انحراف استاندارد	میانگین جامعه	تعداد
ICA	.۰/۰۱	.۰/۲۸	.۰/۱۴۷۲	.۰/۰۶۰۰	.۰/۰۲۰۳۴	.۰/۰۷۸۷۶	.۰/۱۰۳۶	۱۵
GA	.۰/۰۱	.۰/۲۵	.۰/۰۸۵۵	.۰/۰۲۰۶	.۰/۰۱۵۱۲	.۰/۰۵۸۵۶	.۰/۰۵۳۰	۱۵
کل	.۰/۰۱	.۰/۲۸	.۰/۱۰۵۵	.۰/۰۵۱۱	.۰/۰۱۳۳۰	.۰/۰۷۲۸۷	.۰/۰۷۸۳	۳۰

جدول ۲۰، آمار توصیفی خروجی تحلیل واریانس را نشان می‌هد: برای مثال میانگین  $ICA = ۰/۰۳۶$  و  $GA = ۰/۰۵۳۰$  است؛ پس میانگین ICA بیشتر از GA است. بعدی انحراف معیار (Std.Deviation) و خطای انحراف معیار (Std.Error) است. Upper Bound و Lower Bound فاصله اطمینان در سطح ۹۵ درصد و در آخر حداقل و حداکثر مقدار هر متغیر (ICA and GA) قرار دارد.

جدول ۲۱. خروجی تحلیل واریانس

داده‌ها	سطح معناداری	درجه آزادی ۱	درجه آزادی ۲	مقدار آماره لوبن
بر اساس میانگین	.۰/۱۱۲	۲۸	۱	.۰/۶۹۱
بر اساس میانه	.۰/۱۸۳	۲۸	۱	.۰/۸۶۵
بر اساس درجه آزادی تنظیم شده در میانه	.۰/۱۸۳	.۰/۷۷۴۵	۱	.۰/۸۶۵
بر اساس میانگین کوتاه‌شده	.۰/۱۳۸	۲۸	۱	.۰/۳۳۶

یکی از روش‌های سنجش و انجام آزمون برابری واریانس‌ها، استفاده از آماره لوبن است. در جدول ۲۱ مشاهده می‌شود که سطح معناداری آزمون لوبن بیشتر از  $۰/۰۵$ ، یعنی  $۰/۱۱۲$  است؛ درنتیجه فرض برابری واریانس‌ها در گروه‌های ICA and GA تأیید می‌شود. با توجه به نتایج حاصل از خروجی نرم‌افزار و برابری واریانس‌های GA و ICA می‌توان نتیجه گرفت علی‌رغم

اینکه در قسمت قبل مشخص شد که عملکرد الگوریتم ژنتیک بهتر است، ولی با توجه به روش‌های آماری و تحلیل واریانس فرض صفر پذیرفته می‌شود؛ به عبارت دیگر اختلاف معناداری از لحاظ آماری بین عملکرد دو الگوریتم وجود ندارد.

##### ۵. نتیجه‌گیری و پیشنهادها

در این پژوهش با توجه به مفهوم لجستیک بحران یک مدل ریاضی جدید در این حیطه ارائه شد؛ سپس صحه‌گذاری مدل در ابعاد کوچک اجرا و نتایج ارزیابی شدند. در ارزیابی کارایی انجام شده در کارایی الگوریتم‌ها نشان داده شد که هم در ابعاد کوچک و هم ابعاد بزرگ الگوریتم ژنتیک کارایی بیشتری نسبت به الگوریتم رقابت استعماری دارند. تعداد بلایا و همچنین تعداد افرادی که در اثر رخدادن این بلایا تحت تأثیر قرار گرفته‌اند، در سال‌های اخیر افزایش یافته است. این افزایش در تعداد بلایای طبیعی و آثار و تبعات آن‌ها در جان و مال و زندگی مردم توجهات بسیاری را سال‌های اخیر به خود جلب کرده است. بحث امدادرسانی سریع و به موقع به مصدومان این واقایع چالش بزرگی است که در حال حاضر بسیاری از پژوهشگران و دانشمندان در حال پژوهش درباره آن هستند. در بحث امدادرسانی به مصدومان یک حادثه، هدف اصلی در یک زنجیره امدادرسانی این است که اقلام مورد نیاز مصدومان مانند آب و مواد غذایی، مواد دارویی، پناهگاه و سایر ملزمومات در سریع‌ترین زمان ممکن در دسترس مصدومان قرار بگیرد تا از تعداد مرگ‌ومیر ناشی از شدت وقوع بلایا تا حد امکان کاسته شود؛ بنابراین طراحی و توسعه و اجرایی کردن یک زنجیره امدادرسانی می‌تواند نقش مهم و بزرگی در دست‌یافتن به یک پاسخ مناسب ایفا کند. بارزترین تفاوت‌ها که پیچیدگی و انحصار روش برخورد با زنجیره امدادرسانی را در پی دارد، غیرقابل‌پیش‌بینی بودن تقاضا از نظر زمان، مکان، نوع، مقیاس و حجم آن است. دلیل دیگر پیچیدگی مدیریت چنین زنجیره‌هایی و قوی ناگهانی یک تقاضا در مقدار زیاد و فرصت بسیار کوتاه برای تأمین حجم وسیعی از کالاهای کمبود منابع شامل کالاهای، نیروی امدادرسانی، فناوری مناسب، ظرفیت حمل و نقل، سرمایه موردنیاز شرایط محیطی کاملاً متغیر و دینامیک ضرورت تأمین بهموقع و به میزان کافی ملزمومات بعد از وقوع حادثه و ریسک‌های موجود در محیط امدادرسانی است. از آنجاکه مکان و تعداد مراکز عرضه کالاهای و هزینه‌های مرتبط با هر یک از این مراکز نگهداری می‌شود، به طور مستقیم بر زمان امدادرسانی و هزینه‌های مرتبط با آن تأثیر می‌گذارد، بحث جایابی انبارها و بررسی کالاهای موجود در آن‌ها نقش مهمی در کارایی یک زنجیره ایفا می‌کند. پس از وقوع حادثه، مسائل مربوط به مکان‌یابی تسهیلات مربوط به تدارکات انسانی اضطراری بر انواع مشکلات پیش و پس از فاجعه با توجه به محل تسهیلات مانند محل مراکز توزیع، انبارها، پناهگاه‌ها و مراکز پزشکی مطرح می‌شود. اگرچه پژوهش‌های گسترده‌ای در زمینه‌های مسائل مربوط به مکان‌یابی این‌گونه زنجیره‌ها انجام شده، اما در

زمینه‌های نظری و برنامه‌های کاربردی توجه زیادی به زنجیره‌های امدادرسانی بلایا نشده است؛ بنابراین موضوع مکان‌یابی انبارها و تصمیمات مربوط به نگهداری کالا در آن‌ها برای مقابله با تقاضاهای ناگهانی هنگام وقوع یک حادثه مطرح شد که مسئله طراحی شبکه امدادرسانی در یک زنجیره‌ی امدادرسان در قدم نخست بررسی شده و با یک رویکرد تحلیلی تصمیم‌گیری در مورد مکان‌یابی مراکز عرضه و کالاهای موجود در این مراکز بررسی شده است. با توجه به موارد مورداشاره تابه‌حال پژوهشی با درنظرگرفتن دو مسئله مکان‌یابی - موجودی برای برنامه‌ریزی پاسخ به تلفات ارائه نشده است؛ از این‌رو در این پژوهش یک مدل ریاضی برای مسئله مورداشاره ارائه شد. از آنجاکه این مسئله جزو مسائل Np-hard بود، برای حل آن از الگوریتم‌های فرالبتکاری استفاده شد. بدین صورت که ابتدا مسئله مدل‌سازی شد و با نرمافزار گمز صحت مدل به اثبات رسید؛ سپس برای حل مسائل با مقیاس بزرگ از الگوریتم ژنتیک و رقابت استعماری استفاده شد. این مقاله از جمله پژوهش‌های جدیدی است که در حوزه مکان‌یابی - موجودی برای برنامه‌ریزی پاسخ به تلفات ارائه شده است؛ از این‌رو از جنبه‌های مختلفی می‌تواند گسترش یابد که مبانی نظری آن را غنی کند؛ همچنین موارد زیر برای پژوهش‌های آتی پیشنهاد می‌شود:

- با توجه به مبانی نظری مکان‌یابی - موجودی برای برنامه‌ریزی پاسخ به تلفات یکسری عوامل مانند سیل، زلزله، طوفان، آتش‌سوزی و غیره که باعث می‌شود این زنجیره دچار تغییراتی شود، درنظرگرفتن تابآوری و استفاده از استراتژی‌های تابآوری در مدل‌سازی مربوطه باعث می‌شود که اگر زنجیره تأمین دچار مشکلاتی شود، خیلی سریع به حالت اولیه خود بازگردد و بحران خیلی زود رفع شود؛ بنابراین می‌توان از این استراتژی‌ها در مدل‌سازی مربوطه استفاده کرد.
- می‌توان از یک روش عدم قطعیت برای مدل مربوطه استفاده کرد.



### منابع

1. Afshar Najafi, B., & Ghorbani, S. (2020). modeling and solving the problem of location of cross-warehouses and vehicle scheduling in the multi-product supply chain with the possibility of discrete harvesting and delivery. *The Journal of Industrial Management Perspective*, 11(2), 2-8. (In Persian).
2. Ahmadzadeh, E. and Vahdani, B., 2017. A location-inventory-pricing model in a closed loop supply chain network with correlated demands and shortages under a periodic review system. *Computers & chemical engineering*, 101, pp.148-166.
3. Amiri, A., & Fattahi, A. (2015). Provide a fuzzy multi-objective logistics model for distributing relief items and evacuating the injured in times of crisis, 62(2), 63-76 (In Persian).
4. Alizadeh, M., Amiri, M., Mustafee, N., & Sumohon, M. (2019). A robust stochastic Casualty Collection Points location problem. *European Journal of Operational Research*, 279(3), 965-983.
5. Balcik, B., & Beamon, B.M. (2008). Facility location in humanitarian relief. *International Journal of logistics*, 11(2), 101-121.
6. Balcik, B., B.M. Beamon, & Smilowitz, K. (2008). Last mile distribution in humanitarian relief. *Journal of Intelligent Transportation Systems*, 12(2), 51-63.
7. Behnamian, J., & Pourmoradkhani, M. (2015). Inventory modeling to deal with natural disasters. *Two Quarterly Journal of Crisis Management*, 7, 63-77. (In Persian)
8. Brotcorne, L., Laporte, G., & Semet, F. (2003). Ambulance location and relocation models. *European journal of operational research*, 147(3), 451-463.
9. Boonmee, C., Arimura, M., & Asada, T. (2017). Facility location optimization model for emergency humanitarian logistics. *International Journal of Disaster Risk Reduction*, 24, 485-498.
10. Caunhye, A.M., Li, M., & Nie, X. (2015). A location-allocation model for casualty response planning during catastrophic radiological incidents. *Socio-Economic Planning Sciences*, 50, 32-44.
11. Caunhye, A.M., X. Nie, & Pokharel S., (2012). Optimization models in emergency logistics: A literature review. *Socio-economic planning sciences*, 46(1), 4-13.
12. Craggs, R. (2012). Towards a political geography of hotels: Southern Rhodesia, 1958–1962. *Political Geography*, 31(4), 215-224.
13. Foukardi, R., & Talavari, (2021).Optimizing Cash Flow in the Drug Supply Chain: A Risk-Approach Approach. *The Journal of Industrial Management Perspective*, 11(1), 117-145. (In Persian).
14. Hale, T. & Moberg, C.R. (2005). Improving supply chain disaster preparedness. *International Journal of Physical Distribution & Logistics Management*, 35(3), 195-207.
15. Liu, Y., N. Cui, & Zhang J., (2019). Integrated temporary facility location and casualty allocation planning for post-disaster humanitarian medical service. *Transportation research part E: logistics and transportation review*, 128, 1-16.
16. Liu, J., Jiang,D., Guo,L., Nan,J., Cao,W., Wang,P., (2020). Emergency material location-allocation planning using a risk-based integration methodology for river chemical spills. *Environmental Science and Pollution Research*, 27(15), 1-14.

17. Loree, N. & Aros-Vera, F. (2018). Points of distribution location and inventory management model for Post-Disaster Humanitarian Logistics. *Transportation Research Part E: Logistics and Transportation Review*, 116, 1-24.
18. Mohri, S.S. & Haghshenas, H. (020). An Ambulance Location Problem for Covering Inherently Rare and Random Road Crashes. *Computers & Industrial Engineering*, 151(1), 3-10.
19. Mohagheghi, V., Mousavi, S.M. and Vahdani, B., (2015). A new optimization model for project portfolio selection under interval-valued fuzzy environment. *Arabian Journal for Science and Engineering*, 40(11), pp.3351-3361.
20. Mohagheghi, V., Mousavi, S. M., & Vahdani, B. (2017). Analyzing project cash flow by a new interval type-2 fuzzy model with an application to construction industry. *Neural Computing and Applications*, 28(11), 3393-3411.
21. Mohammadi, S., Darestani, S. A., Vahdani, B., & Alinezhad, A. (2020). A robust neutrosophic fuzzy-based approach to integrate reliable facility location and routing decisions for disaster relief under fairness and aftershocks concerns. *Computers & Industrial Engineering*, 148, 106734.
22. Mousavi, S.M., Antuchevičienė, J., Zavadskas, E.K., Vahdani, B. & Hashemi, H., (2019). A new decision model for cross-docking center location in logistics networks under interval-valued intuitionistic fuzzy uncertainty. *Transport*, 34(1), 30-40.
23. Nabavi, S.M., Vahdani, B., Nadjafi, B.A. & Adibi, M.A. (2022). Synchronizing victim evacuation and debris removal: A data-driven robust prediction approach. *European Journal of Operational Research*, 300(2), 689-712.
24. Nel, E.-M., du Preez, J.A., & Herbst, B.M. (2009). A pseudo-skeletonization algorithm for static handwritten scripts. *International Journal of Document Analysis and Recognition (IJDAR)*, 12(1), 47-62.
25. Niakan, F., Vahdani, B., & Mohammadi, M. (2015). A multi-objective optimization model for hub network design under uncertainty: An inexact rough-interval fuzzy approach. *Engineering Optimization*, 47(12), 1670-1688.
26. Rawls, C.G. & Turnquist, M.A. (2010). Pre-positioning of emergency supplies for disaster response. *Transportation research part B: Methodological*, 44(4), 521-534.
27. Saedinia, R., Vahdani, B., Etebari, F., & Nadjafi, B. A. (2019). Robust gasoline closed loop supply chain design with redistricting, service sharing and intra-district service transfer. *Transportation Research Part E: Logistics and Transportation Review*, 123, 121-141.
28. Salimi, F. & Vahdani, B. (2018). Designing a bio-fuel network considering links reliability and risk-pooling effect in bio-refineries. *Reliability Engineering & System Safety*, 174, 96-107.
19. Liu, Y., N. Cui, & Zhang J. (2019). Integrated temporary facility location and casualty allocation planning for post-disaster humanitarian medical service. *Transportation research part E: logistics and transportation review*, 128, 1-16.
21. Tajani, K., Mohtashami, A., Amiri, M., & Ehtesham, R. (2021). Presenting a robust optimization model to design a comprehensive blood supply chain under conditions of supply and demand uncertainty. *The Journal of Industrial Management Perspective*, 11(1), 81-116 (In Persian).

30. Van Wassenhove, L.N. (2006). Humanitarian aid logistics: Supply chain management in high gear. *Journal of the Operational research Society*, 57(5), 475-489.
31. Vahdani, B., Soltani, M., Yazdani, M., & Mousavi, S. M. (2017). A three level joint location-inventory problem with correlated demand, shortages and periodic review system: Robust meta-heuristics. *Computers & Industrial Engineering*, 109, 113-129.
32. Vahdani, B., Mansour, F., Soltani, M. & Veysmoradi, D. (2019). Bi-objective optimization for integrating quay crane and internal truck assignment with challenges of trucks sharing. *Knowledge-Based Systems*, 163, 675-692.
33. Vahdani, B. (2019). Assignment and scheduling trucks in cross-docking system with energy consumption consideration and trucks queuing. *Journal of Cleaner Production*, 213, 21-41.
34. Vahdani, B., & Ahmadzadeh, E. (2019). Designing a realistic ICT closed loop supply chain network with integrated decisions under uncertain demand and lead time. *Knowledge-Based Systems*, 179, 34-54.
35. Vahdani, B., & Naderi-Beni, M. (2014). A mathematical programming model for recycling network design under uncertainty: an interval-stochastic robust optimization model. *The International Journal of Advanced Manufacturing Technology*, 73(5), 1057-1071.
36. Vahdani, B., Tavakkoli-Moghaddam, R., Zandieh, M. & Razmi, J. (2012). Vehicle routing scheduling using an enhanced hybrid optimization approach. *Journal of Intelligent Manufacturing*, 23(3), 759-774.
37. Vahdani, B. & Zandieh, M. (2010). Selecting suppliers using a new fuzzy multiple criteria decision model: the fuzzy balancing and ranking method. *International Journal of Production Research*, 48(18), 5307-5326.
38. Vahdani, B., Veysmoradi, D., Mousavi, S.M. & Amiri, M. (2022). Planning for relief distribution, victim evacuation, redistricting and service sharing under uncertainty. *Socio-Economic Planning Sciences*, 80, 101158.
39. Vaziri, S., Etebari, F. and Vahdani, B., (2019). Development and optimization of a horizontal carrier collaboration vehicle routing model with multi-commodity request allocation. *Journal of Cleaner Production*, 224, 492-505.
40. Veysmoradi, D., Vahdani, B., Farhadi Sartangi, M., & Mousavi, S. M. (2018). Multi-objective open location-routing model for relief distribution networks with split delivery and multi-mode transportation under uncertainty. *Scientia Iranica*, 25(6), 3635-3653.
41. Zahedi, A., M. Kargari, & Kashan, A.H. (2020). Multi-objective decision-making model for distribution planning of goods and routing of vehicles in emergency, *International Journal of Disaster Risk Reduction*, 48(1), 2-10.